



รายงานการวิจัย

เรื่อง

การเตรียมและการหาลักษณะเฉพาะของฟิล์มผสมของ

ไคโตซาน/ไหมเซรีซินเพื่อใช้เป็นระบบนำส่งยา

PREPARATION AND CHARACTERIZATION OF CHITOSAN/SILK
SERICIN BLEND FILM FOR USE AS DRUG DELIVERY SYSTEM

นายธนชาติ อิมสมบัติ

ดร. ปณิตดา แทนสุโพธิ์

นางสาวดรชนีย์ พลหาญ

มหาวิทยาลัยราชภัฏมหาสารคาม
RAJABHAT MAHASARAKHAM UNIVERSITY

ไคโตซาน - ๑๐๒

สำนักวิทยบริการฯ มหาวิทยาลัยราชภัฏมหาสารคาม
ได้รับ..... - 9 พ.ศ. 2560
วันลงทะเบียน.....
เลขทะเบียน..... ๑๙. 249554
เลขเรียกหนังสือ..... 547.782 ๕155ก

มหาวิทยาลัยราชภัฏมหาสารคาม

๑.๒ 2557

พ.ศ. 2557

ลิขสิทธิ์ของมหาวิทยาลัยราชภัฏมหาสารคาม

(งานวิจัยนี้ได้รับทุนอุดหนุนจากสถาบันวิจัยและพัฒนา มหาวิทยาลัยราชภัฏมหาสารคาม ปีงบประมาณ 2557)

กิตติกรรมประกาศ

งานวิจัยฉบับนี้สำเร็จลุล่วงได้ด้วยดี ผู้วิจัยขอขอบพระคุณ สาขาวิชาเคมี คณะวิทยาศาสตร์และเทคโนโลยี มหาวิทยาลัยราชภัฏมหาสารคาม ที่ได้เอื้อเฟื้อห้องปฏิบัติการและเครื่องมือที่เกี่ยวข้องกับการวิจัยในครั้งนี้

ขอขอบคุณศูนย์วิทยาศาสตร์ คณะวิทยาศาสตร์และเทคโนโลยี มหาวิทยาลัยราชภัฏมหาสารคาม ศูนย์เครื่องมือกลาง มหาวิทยาลัยมหาสารคาม ที่ช่วยเหลือและอำนวยความสะดวกในการใช้เครื่องมือวิทยาศาสตร์เป็นอย่างดี

ขอขอบพระคุณศูนย์นวัตกรรมใหม่ มหาวิทยาลัยมหาสารคามที่ได้ให้การสนับสนุนรังไหมพันธุ์พื้นบ้านในการทำวิจัย

ขอขอบคุณสถาบันวิจัยและพัฒนา มหาวิทยาลัยราชภัฏมหาสารคามที่ให้ทุนอุดหนุนการวิจัยในครั้งนี้

คุณค่าและเกียรติภูมิอันใดที่พึงมีในการวิจัยนี้ ผู้วิจัยขออุทิศเป็นเครื่องบูชาแด่คุณบิดามารดา คุณบูรพาจารย์และผู้มีพระคุณทุกท่าน



ธนชาติ อิ่มสมบัติ

ปนัดดา แทนสุโพธิ์

ศรชนีย์ พลหาญ

มหาวิทยาลัยราชภัฏมหาสารคาม
RAJABHAT MAHASARAKHAM UNIVERSITY

ชื่อเรื่อง : การเตรียมและการหาลักษณะเฉพาะของฟิล์มผสมของไคโตซาน/ไหมเชริซินเพื่อใช้เป็นระบบนำส่งยา

ผู้วิจัย : ธนชาติ อิ่มสมบัติ ปนัดดา แทนสุโพธิ์ และ ดร.รชนีษฐ์ พลหาญ

หน่วยงาน : สาขาวิชาเคมี คณะวิทยาศาสตร์และเทคโนโลยี

ปีที่ได้รับทุน : 2557

บทคัดย่อ

ฟิล์มผสมระหว่างไคโตซานและไหมเชริซิน สามารถขึ้นรูปได้ด้วยเทคนิคการเคลือบด้วยตัวทำละลาย โดยได้ทำการศึกษาอิทธิพลอัตราส่วนระหว่างไคโตซานและไหมเชริซินที่ส่งผลต่อลักษณะเฉพาะของฟิล์มผสม เช่น ลักษณะสัญญาณ ความหนา การละลาย โครงรูป ความเสถียรต่อความร้อน และ พฤติกรรมการปลดปล่อยยา จากการศึกษาลักษณะสัญญาณภาพตัดขวางของฟิล์มผสม ด้วยกล้องจุลทรรศน์อิเล็กตรอนแบบส่องกราด (SEM) พบว่าฟิล์มผสมระหว่างไคโตซานและไหมเชริซินมีลักษณะของเนื้อฟิล์มเป็นเนื้อเดียวกันในทุกอัตราส่วน คุณสมบัติในการละลายของฟิล์มเพิ่มมากขึ้นเมื่ออัตราส่วนของไหมเชริซินเพิ่มขึ้นซึ่งสัมพันธ์กับโครงสร้างของฟิล์มที่ศึกษาด้วยเครื่อง FT-IR ซึ่งพบว่าโครงสร้างของฟิล์มมีลักษณะเด่นเป็นแบบเกลียวคู่ซึ่งเป็นรูปแบบที่สามารถละลายน้ำได้ จากการศึกษาความเสถียรต่อความร้อนของฟิล์มด้วยเครื่อง TGA พบว่าฟิล์มผสมมีความเสถียรต่อความร้อนเพิ่มขึ้นเล็กน้อยเมื่ออัตราส่วนของไหมเชริซินเพิ่มขึ้น สำหรับการศึกษาพฤติกรรมการปลดปล่อยยาแบบ อิน วิโทร พบว่าความเข้มข้นสะสมของยาที่ปล่อยออกมาขึ้นอยู่กับอัตราส่วนของไหมเชริซิน ซึ่งฟิล์มผสมเหล่านี้อาจมีศักยภาพสำหรับใช้เป็นระบบนำส่งยา

TITLE : Preparation and characterization of chitosan/silk sericin blend films for use as drug delivery

RESEARCHER : Thanonchat Imsombut, Panadda Tansupo and Duchanee Pholhan

FACULTY : Department of Chemistry , Faculty of Science and Technology

ACADEMIC YEAR : 2014

ABSTRACT

Chitosan/Silk sericin (CS/SS) blend film was successfully prepared by solvent casting technique. Influence of CS/SS ratios on characteristics of blend film such as morphology, solubility, chemical structure, thermal stability and *in vitro* drug releasing were investigated. The morphology result from Scanning Electron Microscopy (SEM) showed that the cross-section was observed to be homogeneous phase for the overall blend ratios. The solubility of blend film was increased with increasing SS ratio to relation. The result from Fourier Transform Infrared (FTIR) indicated that CS/SS blend film were shown predominantly in the water soluble form (random coil) conformation. The thermogram from Thermo gravimetric Analyzer (TGA) showed that thermal stability of the blend film was slightly increased when the SS ratio was increased. For the *in vitro* drug releasing test from the CS/SS blended films. The cumulative of drug concentration was depended on SS ratio. These blend films might be potential for used as drug delivery system.

สารบัญ

เรื่อง	หน้า
กิตติกรรมประกาศ.....	ก
บทคัดย่อภาษาไทย.....	ข
บทคัดย่อภาษาอังกฤษ.....	ค
สารบัญ.....	ง
สารบัญรูป.....	ฉ
สารบัญตาราง.....	ช
บทที่ 1 บทนำ.....	1
1.1 ที่มาและความสำคัญ.....	1
1.2 วัตถุประสงค์ของการวิจัย.....	3
1.3 ขอบเขตการวิจัย	3
1.4 นิยามศัพท์เฉพาะ.....	4
1.5 กรอบแนวคิดการวิจัย.....	4
1.6 ประโยชน์ที่คาดว่าจะได้รับ.....	4
บทที่ 2 เอกสารและงานวิจัยที่เกี่ยวข้อง.....	5
2.1 ไคโตซาน.....	5
2.1.1 วิธีการสกัดไคโตซาน.....	6
2.1.2 การประยุกต์ใช้ไคโตซาน.....	8
2.2 การประยุกต์ใช้ไคโตซานในทางด้านการแพทย์และเภสัชกรรม.....	9
2.3 การขึ้นรูปฟิล์มผสมของไคโตซาน.....	9
2.4 ไหม.....	10
2.4.1 ไหมไฟโบรอิน (Silk Fibroin)	11
2.4.2 ไหมเซรีซิน (Silk Sericin)	11
2.5 โครงสร้างโปรตีน.....	16
2.5.1 โครงสร้างระดับปฐมภูมิ	16
2.5.1 โครงสร้างระดับทุติยภูมิ.....	16
2.5.3 โครงสร้างระดับตติยภูมิของสายบีต้า.....	17
2.5.4 โครงสร้างระดับตติยภูมิ.....	17
2.6 เอกสารและงานวิจัยที่เกี่ยวข้อง.....	18

บทที่ 3 วิธีการดำเนินการทดลอง.....	22
3.1 วัสดุและสารเคมี.....	22
3.2 เครื่องมือที่ใช้ในการทดลอง.....	22
3.3 การเตรียมสารละลายเซริซิน.....	23
3.4 การเตรียมสารละลายไคโตซาน.....	23
3.5 การเตรียมฟิล์มผสมระหว่างไคโตซานและไหมเซริซิน.....	23
3.6 การเตรียมฟิล์มผสมระหว่างไคโตซานและไหมเซริซินที่มียาเตระไวคลินไฮโดรคลอไรด์ บรรจุอยู่.....	23
3.7 การหาลักษณะเฉพาะของฟิล์มผสมระหว่างไคโตซานและเซริซินจากไหม.....	23
3.7.1 ลักษณะสัญญาณ.....	23
3.7.2 ความหนาโดยเฉลี่ย.....	24
3.7.3 โครงรูปของฟิล์มผสม.....	24
3.7.4 การทดสอบการละลาย.....	24
3.7.5 การทดสอบความเสถียรด้วยความร้อน.....	24
3.7.6 การศึกษาพฤติกรรมของการปลดปล่อยยาของฟิล์มผสมระหว่างไคโตซานและไหม เซริซิน.....	25
บทที่ 4 ผลการทดลองและวิจารณ์ผลการทดลอง.....	26
4.1 ลักษณะสัญญาณ.....	26
4.2 ความหนาโดยเฉลี่ย.....	28
4.3 โครงรูป.....	28
4.4 การทดสอบการละลาย.....	29
4.5 การศึกษาความเสถียรต่อความร้อน.....	30
4.6 การทดสอบการปลดปล่อยยาแบบอินวิโทร.....	31
บทที่ 5 สรุปและอภิปรายผลและข้อเสนอแนะ.....	32
5.1 สรุปผลการทดลอง.....	32
5.2 อภิปรายผลการทดลอง.....	32
5.3 ข้อเสนอแนะ.....	33
บรรณานุกรม.....	35
ภาคผนวก.....	36

สารบัญรูป

รูปที่	หน้า
1.1 ระดับความเข้มข้นของยาในเลือดผู้ป่วย (plasma concentration of drug) กับเวลา เมื่อมีการให้ยา (*) ในแต่ละครั้ง (---) กับการให้ยาในรูปแบบควบคุมการปลดปล่อยยา ().....	1
1.2 โครงสร้างของโคโตซาน.....	2
2.1 โครงสร้างของโคตินโคโตซานและเซลลูโลส.....	5
2.2 โครงสร้างของโคตินและโคโตซาน.....	6
2.3 ขั้นตอนการสกัดโคโตซาน.....	7
2.4 เส้นใยไหมดิบ.....	11
2.5 เส้นไหม (a) เส้นไหมติดกันเนื่องจากมีกาวไหมเซรีซินเชื่อม (b) ไฟโบรอินสองเส้น.....	12
2.6 โครงสร้างของแอลฟา-เฮลิกซ์แบบ Π -เฮลิกซ์.....	16
2.7 โครงสร้างของสายปี้ต้า.....	17
2.8 โครงสร้างสามมิติของโปรตีน.....	17
2.9 การเตรียมฟิล์มโคโตซานที่บรรจุยาคลอร์เฮกซิดีนกลูโคเนท	18
2.10 รูปแบบการปลดปล่อยที่เวลาต่างๆ ของยาคลอร์เฮกซิดีน กลูโคเนทจากฟิล์มโคโตซาน.....	19
2.11 อัตราการบวมของฟิล์มโคโตซานแบบเชื่อมขวางที่บรรจุยาไรโบฟลาวิน ที่เวลาต่างๆ ที่เตรียมโดยมีการเกิดปฏิกิริยาการเชื่อมขวางด้วยโซเดียมซัลไฟต์ที่มีสถานะพี เอช ต่างๆ.....	19
2.12 รูปแบบการปลดปล่อยยาไรโบฟลาวินจากฟิล์มโคโตซานแบบเชื่อมขวาง ที่เวลาต่างๆ ที่เตรียมโดยมีการเกิดปฏิกิริยาการเชื่อมขวางด้วยโซเดียม ซัลไฟต์ที่มีสถานะพี เอช ต่างๆ.....	20
2.13 รูปแบบการปลดปล่อยยาเมธิมาโซลจากฟิล์มโคโตซานที่มีน้ำหนักโมเลกุลต่างกัน.....	20
2.14 การเกิดพันธะไฮโดรเจนระหว่างโมเลกุลของโคโตซานและไหม ไฟโบรอิน.....	21

สารบัญตาราง

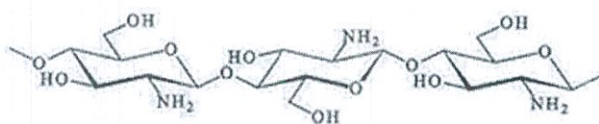
ตาราง	หน้า
2.1 ส่วนประกอบของชั้นรังไหมชนิด <i>Bombyx mori</i>	12
2.2 กรดอะมิโน 18 ชนิดที่เป็นองค์ประกอบในรังไหม.....	13
2.3 หน้าที่และคุณสมบัติของกรดอะมิโนสำคัญในผงไหม.....	14
3.1 สารเคมีที่ใช้ในการทดลอง.....	22
3.2 เครื่องมือที่ใช้ในการทดลอง.....	22
4.1 แสดงความหนาโดยเฉลี่ยของฟิล์มผสมในอัตราส่วนต่างๆ.....	28
4.2 แสดงร้อยละการละลายของฟิล์มระหว่างไคโตซานและไหมเซรีซิน.....	30



มหาวิทยาลัยราชภัฏมหาสารคาม
RAJABHAT MAHASARAKHAM UNIVERSITY

สำหรับยาที่ละลายน้ำได้ดี (water-soluble drugs) แม้ว่าจะมีการกระจายตัวดีในร่างกายผู้ป่วย เพราะสามารถละลายในเลือดได้ แต่การให้ยาเตรียมแบบเดิมทำให้เกิดความไม่สะดวกต่อผู้ป่วยในการรับประทานยาหลายครั้งต่อวัน และแพทย์ยังต้องให้ทานยาในปริมาณที่มากกว่าที่ต้องการเสมอ ซึ่งเป็นการเสี่ยงต่อการเกิดอาการข้างเคียงต่อการได้รับยาเกินขนาด ดังนั้นหากมีระบบนำส่งยาที่สามารถควบคุมการปลดปล่อยยาในอัตราต่างๆที่ต้องการได้ แพทย์ผู้รักษาก็จะสามารถเลือกใช้ระบบนำส่งยานี้กับผู้ป่วยที่มีอาการของโรคที่รุนแรงต่างกัน

ไคโตซานเป็นพอลิเมอร์ที่สามารถละลายตัวได้และมีความเข้ากันได้ทางชีวภาพ โดยเป็นอนุพันธ์ของไคตินที่ได้จากการสกัดเปลือกกุ้งและปูเป็นส่วนใหญ่ โครงสร้างของไคโตซานแสดงได้ดังนี้



รูปที่ 1.2 โครงสร้างของไคโตซาน

ไคโตซานมีสมบัติการขึ้นรูปเป็นฟิล์มที่ดี โดยได้มีการศึกษาวิจัยประยุกต์ใช้ไคโตซานเป็นวัสดุปิดแผล (wound dressing materials) (Haya-arekul *et al.*, 2006) และวัสดุเคลือบ (coating) หรือเป็นฟิล์มห่อหุ้มเนื้อสัตว์และผักผลไม้ (Haya-arekul *et al.*, 1991 Ouattar *et al.*, 2000 Jeon *et al.*, 2000 Chen *et al.*, 1998 Srinivasa *et al.*, 2002) เนื่องจากไคโตซานสามารถเตรียมเป็นฟิล์มได้ง่ายจากสารละลายที่มีน้ำเป็นตัวทำละลาย

ไหมเซริซิน (silk sericin) คือ โปรตีนที่ห่อหุ้มเส้นใยของไฟโบรอินจากไหม ที่สร้างมาจากหนอนไหม เป็นโปรตีนที่มีลักษณะใกล้เคียงกับโปรตีนในร่างกายมนุษย์ซึ่งเซริซินประกอบด้วยกรดอะมิโน 16-18 ชนิด จากการวิจัยพบว่า เซริซิน มีฤทธิ์ต้านอนุมูลอิสระ ชะลอการทำลายเซลล์ โดย oxygen free radicals ซึ่งเชื่อกันว่าการที่เซลล์ถูกทำลายนี้เป็นสาเหตุให้เกิดโรค มะเร็ง ความแก่ นอกจากนี้ยังมีฤทธิ์ต้านเชื้อแบคทีเรียบางชนิดซึ่งเป็นสาเหตุของ โรคผิวหนัง และช่วยรักษาแผลให้หายเร็วขึ้น จากคุณสมบัติดังกล่าว จึงได้มีความพยายามพัฒนาฟิล์มที่ทำจากเซริซินเพื่อพัฒนาเป็นวัสดุทางการแพทย์ จากรายงานวิจัย พบว่าฟิล์มไหม เซริซินมีข้อดีอย่างประการคือ มีลักษณะแข็ง และเปราะ ดังนั้นฟิล์มไหมเซริซินดังกล่าวจึงยังไม่สามารถใช้งานทางการแพทย์ และเภสัชกรรมได้อย่างมีประสิทธิภาพ นอกจากนี้จากรายงานการวิจัยยังพบว่าเซริซินสามารถนำมาขึ้นรูปเป็น อนุภาคขนาดไมโครเมตรเพื่อใช้ควบคุมการปลดปล่อยโปรตีนได้

อย่างไรก็ตาม พิล์มใหม่ เซริซินเป็นฟิล์มที่เปราะ แดกหักง่าย โดยมีรายงานถึงฟิล์มผสมของใหม่ เซริซิน กับโพลิไวนิลแอลกอฮอล์ (Poly(vinyl alcohol), PVA) ว่าสามารถขึ้นรูปเป็นฟิล์มได้ ดังนั้นจึงคาดว่า อิทธิพลของชนิดพอลิเมอร์ที่ต่างกันนี้ (ใหม่ เซริซินเป็นพอลิเปปไทด์ ขณะที่โคโคซานเป็นพอลิแซคคาไรด์) จะส่งผลต่อลักษณะเฉพาะและอัตราการปลดปล่อยยาที่บรรจุในฟิล์มผสม ซึ่งจะทำให้สามารถเตรียมฟิล์มที่มีอัตราการปลดปล่อยยาที่ต่างกัน เหมาะสำหรับการเลือกใช้ในผู้ป่วยที่มีอาการของโรคที่รุนแรงแตกต่างกันต่อไป โดยตัวอย่างยาที่ละลายน้ำได้ดีที่ใช้ในงานวิจัยนี้ ได้แก่ เตตระไซคลินไฮโดรคลอไรด์ (tetracycline hydrochloride) เป็นยาปฏิชีวนะระดับ การเจริญเติบโตของเชื้อแบคทีเรีย รักษาโรคติดเชื้อในท่อนทางเดินปัสสาวะรักษาลำไส้อักเสบ หลอดลมอักเสบ รักษาโรคบิดมีเชื้อ รักษาแผลฝีหนอง อากาศอักเสบต่าง ๆ เนื่องจากการติดเชื้อ โดยทั่วไปแล้วผู้ป่วยมีอาการของโรคที่รุนแรงต่างกัน จึงต้องการยาในปริมาณที่ต่างกันด้วย

1.2 วัตถุประสงค์

1.2.1 เพื่อศึกษาอิทธิพลของอัตราส่วนผสมของโคโคซานและใหม่เซริซินที่มีผลต่อลักษณะเฉพาะต่างๆของฟิล์มผสม

1.2.2 เพื่อศึกษาอิทธิพลของการบรรจุยาเตตระไซคลินไฮโดรคลอไรด์ที่มีผลต่อลักษณะเฉพาะต่างๆของฟิล์มผสมและพฤติกรรมปลดปล่อยยาเตตระไซคลินไฮโดรคลอไรด์

1.3 ขอบเขตการวิจัย

1.3.1 การเตรียมสารละลายของใหม่เซริซินเตรียมด้วยวิธี ไดอะไลซิส

1.3.2 การเตรียมฟิล์มโคโคซาน ปรับปรุงคุณสมบัติของฟิล์มด้วยใหม่เซริซินที่บรรจุและไม่บรรจุยา เตตระไซคลินไฮโดรคลอไรด์

1.3.3 ศึกษาลักษณะเฉพาะของฟิล์มผสมที่มีอัตราส่วนของใหม่เซริซิน และ อัตราส่วนของของยาปฏิชีวนะ ที่แตกต่างกันเช่น สัณฐานของฟิล์มผสม ศึกษาโดยเครื่อง Scanning electron microscope (SEM) ศึกษาโครงแบบ (conformation) ด้วย เครื่อง FT-IR (Fourier transform infrared spectrophotometer)

1.4 นิยามศัพท์เฉพาะ

โคโคซาน หมายถึง พอลิเมอร์ชนิดหนึ่งที่ได้จากธรรมชาติ มีคุณสมบัติที่สามารถแตกสลายได้ทางชีวภาพและสามารถเข้ากับเนื้อเยื่อของสิ่งมีชีวิตได้โดยไม่ทำให้เนื้อเยื่อของสิ่งมีชีวิตเกิดการอักเสบและติดเชื้อ

ไหมเซริซิน หมายถึง โปรีตีนชนิดหนึ่งที่ได้จากธรรมชาติคือได้จากรังไหม ระบบนำส่งยา (drug delivery system) หมายถึง ตัวพา หรือวัสดุที่ใช้ในการห่อหุ้มยา

1.5 กรอบแนวความคิดการวิจัย

1.5.1 फिल्मโคโคซานที่เตรียมได้จากโคโคซานที่มีมวลโมเลกุลแตกต่างกันจะส่งผลต่ออัตราการปลดปล่อยยาที่สามารถละลายน้ำได้แตกต่างกัน

1.5.2 फिल्मที่มีอัตราส่วนผสมของไหมเซริซินจะสามารถควบคุมการปลดปล่อยยาที่สามารถละลายน้ำได้

1.5.3 อัตราการปลดปล่อยของยาที่สามารถละลายน้ำได้จะสามารถควบคุมได้ด้วยการปรับเปลี่ยนอัตราส่วนของไหมเซริซินที่มีอยู่ในฟิล์มผสม

1.6 ประโยชน์ที่คาดว่าจะได้รับ

1.6.1 ได้ทราบถึงสถานะที่เหมาะสมในการเตรียมฟิล์มผสมระหว่างโคโคซานไหมเซริซินที่บรรจุยาเตตระไฮดรอลินไฮโดรคลอไรด์ เช่น อัตราส่วนระหว่างโคโคซานและไหมเซริซิน ประสิทธิภาพการบรรจุยาของฟิล์ม

1.6.2 ได้ทราบถึงอิทธิพลของอัตราส่วนของไหมเซริซินต่ออัตราการปลดปล่อยยาเตตระไฮดรอลินไฮโดรคลอไรด์

1.6.3 เป็นการประยุกต์ใช้พอลิเมอร์ที่ได้จากธรรมชาติ (โคโคซาน) ในทางด้านการแพทย์และเภสัชกรรม

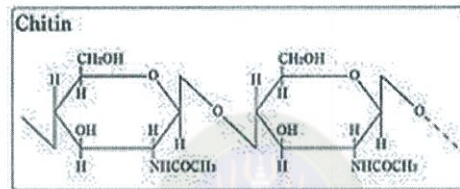
บทที่ 2

เอกสารและงานวิจัยที่เกี่ยวข้อง

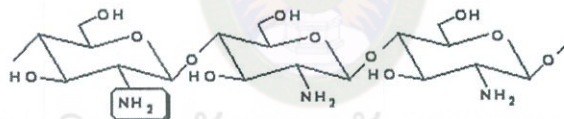
2.1 ไคโตซาน

ไคโตซานเป็นที่จัดเป็นพอลิเมอร์ที่สามารถแตกสลายทางชีวภาพได้ ซึ่งพอลิเมอร์ชนิดนี้สามารถย่อยสลายได้ด้วยพวกสิ่งมีชีวิตเล็ก ๆ หรือ ย่อยสลายได้ด้วยการเกิดปฏิกิริยากับน้ำ (Hydrolysis reaction)

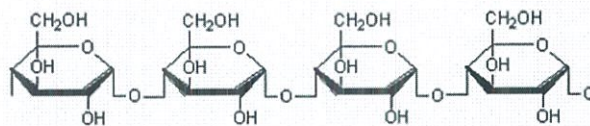
ไคโตซานเตรียมได้จากไคตินโดยปฏิกิริยาการหลุดของหมู่อะซีทิล (Deacetylation) โดยการใช้ด่างเข้มข้นหรือเอนไซม์ ซึ่งไคตินเป็นพอลิเมอร์ที่มีมากเป็นอันดับสองรองจากเซลลูโลส ไคตินเป็นองค์ประกอบนอกของสัตว์จำพวกแมลง ปูและกุ้ง เป็นต้น ดังนั้นไคโตซานที่เตรียมได้จากไคตินจึงเป็นพอลิเมอร์ที่มีมากอีกชนิดหนึ่งในธรรมชาติ ซึ่งสูตรโครงสร้างของไคติน ไคโตซานและเซลลูโลส ได้แสดงเปรียบเทียบกันดังรูปที่ 2.1



(a)



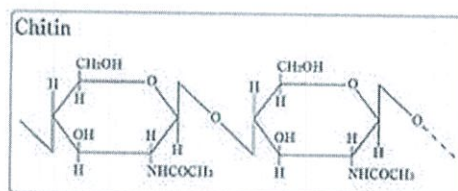
(b)



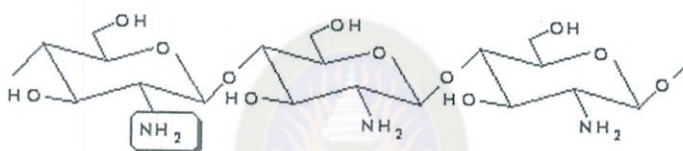
(c)

รูปที่ 2.1 แสดงโครงสร้างของไคติน(a) ไคโตซาน(b) และ เซลลูโลส (c)

ไคตินและไคโตซานเป็นพอลิเมอร์ร่วม (copolymer) ที่มีสูตรโครงสร้างดังรูปที่ 2.2 หากมีหน่วยซ้ำ (Repeating Unit) ของไคตินมากกว่า 50 % จะเรียกพอลิเมอร์ร่วมนี้ว่าไคติน ในทางตรงกันข้ามถ้ามีหน่วยซ้ำของไคโตซานมากกว่า 50 % จะเรียกพอลิเมอร์ร่วมนี้ว่า ไคโตซาน ซึ่งระดับขั้นของการหลุดของหมู่อะซิติก (Degree of deacetylation, DD) เป็นระดับของการเปลี่ยนไคตินเป็นไคโตซาน เป็นค่าที่สามารถระบุชั้นคุณภาพของไคโตซาน นอกเหนือจากค่าน้ำหนักโมเลกุลโดยเฉลี่ย (Molecular weight average) ของไคโตซาน นอกจากนี้ ระดับขั้นการหลุดของหมู่อะซิติกยังเป็นค่าที่ใช้เปรียบเทียบถึงความสามารถในการละลายของหมู่อะซิติกอีกด้วย



ไคติน



ไคโตซาน

รูปที่ 2.2 แสดงโครงสร้างของไคตินและไคโตซาน

ไคโตซานจะสามารถละลายน้ำได้ดีกว่าไคติน ไคโตซานสามารถละลายได้ดีในสารละลายกรดอ่อน เช่น กรดอะซิติก และกรดแล็กติก เป็นต้น ดังนั้นไคโตซานจึงสามารถขึ้นรูปได้ในสภาวะที่เป็นสารละลาย นอกจากนี้ไคโตซานยังมีคุณสมบัติในการต้านจุลชีพ (Antimicrobial peptide) ที่ดีกว่าจากเหตุผลดังกล่าวจึงทำให้ไคโตซานได้รับความสนใจในการวิจัยและพัฒนาเพื่อประยุกต์ใช้งานด้านต่างๆมากกว่าไคติน

2.1.1 วิธีการสกัดไคโตซาน

2.1.1.1 กระบวนการเปลี่ยนไคตินเป็นไคโตซาน

กระบวนการผลิตไคโตซานมีขั้นตอนหลักอยู่เพียงขั้นตอนเดียว คือ ขั้นตอนการกำจัดหมู่ acetyl เรียกว่าขั้นการเกิดปฏิกิริยาการกำจัดหมู่อะซิติก (Deacetylation) ในไคตินด้วยสารละลายต่างเข้มข้นที่ร้อน ผลจากการเกิดปฏิกิริยาการกำจัดหมู่อะซิติกทำให้หมู่อะซิติก (Acetyl group) ที่คาร์บอน

หมู่อะซิทิลคิดเป็นเปอร์เซ็นต์ กล่าวคือ %DD เกิดกว่า 50 เปอร์เซ็นต์ ขึ้นไปแล้วสามารถใช้พอลิเมอร์นั้นให้เกิดอนุพันธ์ที่ละลายในกรดอินทรีย์ หรือกล่าวได้ว่าการลดลงของหมู่อะซิทิลในไคติน (Chitin Regenerated) ผลที่ได้คือ การเพิ่มหมู่เอมิโน ซึ่งเป็นการเพิ่มสมบัติการเป็นสารที่มีประจุบวก (Polycationic Activity) บนพอลิเมอร์ที่ทำให้เกิดสภาพของการเป็นไคโตซานเพิ่มขึ้น (Chitosan Generation) เพราะฉะนั้นโครงสร้างของไคโตซานต่างจากไคตินตรงหน่วยที่เป็น Glucosamine ในสายพอลิเมอร์เพิ่มมากกว่า 50 เปอร์เซ็นต์ขึ้นไป

2.1.2 การประยุกต์ใช้ไคโตซาน

ปัจจุบันมีการนำไคตินและไคโตซานมาประยุกต์ในด้านต่างๆ อาทิเช่น

2.1.2.1 ด้านอาหาร ไคโตซานมีสมบัติในการต่อต้านจุลินทรีย์และเชื้อราบางชนิด โดยมีกลไกคือ ไคโตซานมีประจุบวก สามารถจับกับเซลล์เมมเบรนของจุลินทรีย์ที่มีประจุลบได้ ทำให้เกิดการรั่วไหลของโปรตีนและสารอื่นของเซลล์ ในหลายประเทศได้ขึ้นทะเบียนไคตินและไคโตซานให้เป็นสารที่ใช้เติมในอาหารได้ โดยนำไปใช้เป็นสารกักตุน สารช่วยรักษากลิ่น รส และสารให้ความข้น ใช้เป็นสารเคลือบอาหาร ผัก และผลไม้ เพื่อรักษาความสดหรือผลิตในรูปฟิล์มที่รับประทานได้ (Edible film) สำหรับบรรจุอาหาร

2.1.2.2 ด้านอาหารเสริม มีรายงานว่า ไคโตซานช่วยลดคอเลสเตอรอล และไขมันในเส้นเลือด โดยไคโตซานไปจับกับคอเลสเตอรอล ทำให้ร่างกายไม่สามารถดูดซึมไปใช้หรือดูดซึมได้น้อยลง จึงมีการโฆษณาเป็นผลิตภัณฑ์ลดน้ำหนัก ทั้งนี้ต้องใช้ด้วยความระมัดระวัง เนื่องจากไคโตซานสามารถจับ วิตามินที่ละลายได้ดีในไขมัน (วิตามินเอ ดี อี เค) อาจทำให้ขาดวิตามินเหล่านี้ได้ นอกจากนี้ ทางการแพทย์ มีรายงานการนำ N-acetyl-D-glucosamine ไปใช้รักษาไขข้อเสื่อม โดยอธิบายว่า ข้อเสื่อมเกิดเนื่องจากการสึกกร่อนของเนื้อเยื่ออ่อนที่เคลือบอยู่ระหว่างข้อกระดูก ซึ่ง Glucosamine เป็นสารตั้งต้นในการสังเคราะห์ Proteoglycan และ Matrix ของกระดูกอ่อน จึงช่วยทำให้เยื่อหุ้มกระดูกอ่อนหนาขึ้น

2.1.2.3 ด้านเภสัชกรรม มีรายงานการใช้ไคโตซานเพื่อควบคุมการปลดปล่อยตัวยาสำคัญ

2.1.2.4 ด้านการเกษตร เนื่องจากไคตินและไคโตซานมีไนโตรเจนเป็นองค์ประกอบ ไนโตรเจนจะถูกปลดปล่อยออกจากโมเลกุลอย่างช้าๆ รวมทั้งช่วยตรึงไนโตรเจนจากอากาศและดิน จึงใช้เป็นปุ๋ยชีวภาพ นอกจากนี้ยังช่วยกระตุ้นระบบภูมิคุ้มกันของพืช และกระตุ้นการนำแร่ธาตุไปใช้ ผลคือสามารถเพิ่มผลผลิตและคุณภาพการผลิตได้ ทำให้เกษตรกรมี ต้นทุนต่ำลง เนื่องจากลดการใช้ปุ๋ยและยาฆ่าแมลง

2.1.2.5 ด้านการปศุสัตว์ ใช้เป็นส่วนผสมในอาหารสัตว์เพื่อกระตุ้นภูมิคุ้มกัน และลดการติดเชื้อ ทำให้น้ำหนักตัวของสัตว์เพิ่มขึ้น

2.1.2.6 ด้านการบำบัดน้ำเสีย โดยทั่วไป น้ำเสียจากอุตสาหกรรมอาหาร มีสารแขวนลอยสูง ไคโตซานมีประจุบวก สามารถจับกับโปรตีนและไขมันได้ดี ซึ่งโปรตีนที่ได้สามารถแยกนำไปใช้เป็นอาหาร

สัตว์ต่อไป นอกจากนี้ ไคโตซานยังสามารถดูดซับอออนของโลหะหนัก และจับสี (Dye) ช่วยในการบำบัดน้ำเสีย

2.1.2.7 ด้านสิ่งทอ นำมาขึ้นรูปเป็นเส้นใย และใช้ในการทอร่วมหรือเคลือบกับเส้นใยอื่นๆ เพื่อให้ได้คุณสมบัติการต้านจุลลินทรีย์ ลดการเกิดกลิ่นอับชื้น

2.2 การประยุกต์ใช้ไคโตซานทางการแพทย์และเภสัชกรรม

ตัวอย่างการประยุกต์ใช้งานด้านการแพทย์และเภสัชกรรม ได้แก่ ฟิล์มห่อหุ้มอาหาร (food packaging) วัสดุเคลือบอาหารที่สามารถรับประทานได้ (Edible food coating) วัสดุบำบัดน้ำเสีย (Waste water treatment) วัสดุวิศวกรรมเนื้อเยื่อ (Tissue engineering) วัสดุศัลยกรรมกระดูก (Orthopaedic) วัสดุปิดแผล (Wound dressing) และระบบนำส่งยาแบบควบคุมการปลดปล่อย (Controlled-drug delivery systems) เป็นต้น

2.3 การขึ้นรูปฟิล์มผสมของไคโตซาน

2.3.1 การผลิตฟิล์ม และสมบัติทางกายภาพของฟิล์มเซลลูโลสจากแบคทีเรีย-ไคโตซาน

ไคโตซานเป็นพอลิแซ็กคาไรด์ในธรรมชาติเพียงชนิดเดียวที่มีประจุบวก ซึ่งมีการนำไปประยุกต์ใช้ในเชิงพาณิชย์อย่างมากมาย มีงานวิจัยพบว่าการเติมไคโตแซนลงในสารแขวนลอยเยื่อทั้งจากเยื่อใยยาวหรือเยื่อใยสั้น ในกระบวนการผลิตกระดาษนั้นสามารถปรับปรุงสมบัติทางกายภาพด้านต่าง ๆ ของกระดาษได้ อย่างไรก็ตามยังไม่มียานวิจัยที่ศึกษาผลของไคโตซานที่มีต่อเซลลูโลสในระดับไมโครไฟบริลเช่นเซลลูโลสจากแบคทีเรีย วัตถุประสงค์ของงานวิจัยนี้คือ การศึกษาการผลิตฟิล์ม และการศึกษาสมบัติทางกายภาพของฟิล์มเซลลูโลสจากแบคทีเรีย-ไคโตแซนที่ผลิตได้ ซึ่งจากการศึกษาโดยกำหนดน้ำหนักมาตรฐานของฟิล์มเซลลูโลสจากแบคทีเรีย-ไคโตแซนคงที่ 30 กรัมต่อตารางเมตร และแปรปริมาณไคโตซานในสารแขวนลอยผสมระหว่างไคโตซานและเซลลูโลสจากแบคทีเรียในช่วง 0 ถึง 30 เปอร์เซ็นต์ ของน้ำหนักเยื่ออบแห้ง และค่าความเป็นกรด-ด่างของสารแขวนลอยผสม 4.5 7.0 และ 10.0 พบว่าที่ระดับการผสมไคโตซาน 10 เปอร์เซ็นต์ ของน้ำหนักเยื่ออบแห้ง และค่าความเป็นกรด-ด่าง 10.0 ให้สมบัติทางกายภาพโดยรวมของฟิล์มดีที่สุด โดยจากการขึ้นฟิล์มในสภาวะนี้ดัชนีความต้านแรงดึงของฟิล์มเพิ่มขึ้น 27 เปอร์เซ็นต์ ดัชนีความต้านแรงฉีกของฟิล์มเพิ่มขึ้น 42 เปอร์เซ็นต์ ความยืดของฟิล์มเพิ่มขึ้น 35 เปอร์เซ็นต์ และการซึมผ่านได้ของไอน้ำของฟิล์มเพิ่มขึ้น 18 เปอร์เซ็นต์ เมื่อเทียบกับแผ่นฟิล์มที่ไม่ได้รับการเติมไคโตซาน อย่างไรก็ตามดัชนีความต้านแรงฉีกขาดของฟิล์มลดลง 32 เปอร์เซ็นต์ จากฟิล์มซึ่งไม่ได้รับการเติมไคโตซาน

2.3.2 การเตรียมฟิล์มผสมระหว่างไคโตซานและเมทิลเซลลูโลส

การศึกษาการลักษณะเฉพาะของฟิล์มผสมระหว่างไคโตซานและเมทิลเซลลูโลสในอัตราส่วนต่างๆ เพื่อทำการศึกษามบัตินทางกายภาพและสมบัติเชิงกลของฟิล์มที่เตรียมได้ โดยขึ้นรูปฟิล์มด้วยเทคนิค Casting โดยใช้เมทิลเซลลูโลสที่มีน้ำหนักโมเลกุลสูงเปรียบเทียบกับฟิล์มผสมเมทิลเซลลูโลสที่มีน้ำหนักโมเลกุลต่ำ พบว่าความเป็นผลึกและการละลายน้ำของฟิล์มพอลิเมอร์ผสมทั้งสองชนิดเพิ่มขึ้นเมื่อปริมาณเมทิลเซลลูโลสสูงขึ้น โดยฟิล์มที่มีเมทิลเซลลูโลสน้ำหนักโมเลกุลต่ำให้ความเป็นผลึกและการละลายน้ำมากกว่าฟิล์มที่มีเมทิลเซลลูโลสน้ำหนักโมเลกุลสูง ขณะที่ความทนแรงดึงและการยืดตัวของฟิล์มทั้งสองชนิดกลับลดลงเมื่อปริมาณเมทิลเซลลูโลสสูงขึ้น และเพิ่มขึ้นอีกครั้งเมื่อปริมาณเมทิลเซลลูโลสสูงกว่า 40 เปอร์เซ็นต์ โดยฟิล์มที่มีเมทิลเซลลูโลสน้ำหนักโมเลกุลต่ำมีความทนแรงดึงและการยืดตัวน้อยกว่าฟิล์มที่มีเมทิลเซลลูโลสน้ำหนักโมเลกุลสูง การให้ความร้อนฟิล์มพอลิเมอร์ผสมด้วยความร้อน ให้ความเป็นผลึกเพิ่มขึ้นและการละลายน้ำของฟิล์มลดลง และเมื่อปริมาณเมทิลเซลลูโลสต่ำกว่า 40 เปอร์เซ็นต์ ฟิล์มที่ผ่านการให้ความร้อน จะมีความต้านทานต่อแรงดึงมากกว่าและการยืดตัวน้อยกว่าฟิล์มที่ไม่ผ่านการให้ความร้อน แต่เมื่อปริมาณเมทิลเซลลูโลสมากกว่า 40 เปอร์เซ็นต์ ฟิล์มที่ผ่านการให้ความร้อน จะให้ความทนแรงดึงน้อยกว่าและการยืดตัวมากกว่าฟิล์มที่ไม่ผ่านการให้ความร้อน นอกจากนี้ การปรับสภาพฟิล์มพอลิเมอร์ผสมให้ เป็นกลางด้วยเมทานอล ส่งผลให้การละลายน้ำของฟิล์มทั้งสองชนิดลดลงอีกด้วย (สุกิจ, 2542)

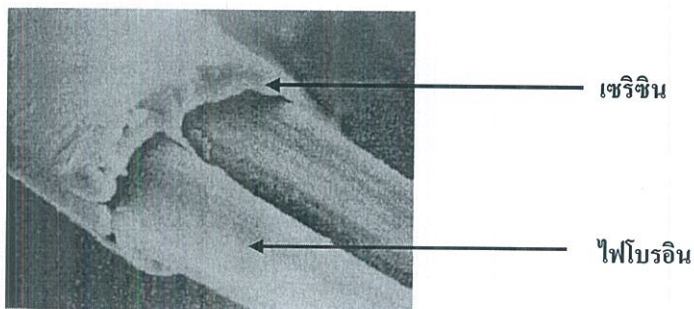
2.3.3 การศึกษาการลักษณะเฉพาะของฟิล์มผสมระหว่างไคโตซานและน้ำมันมะกอกของฟิล์มที่รับประทานได้

ศึกษาคุณสมบัติของฟิล์มผสมระหว่างไคโตซานและน้ำมันมะกอก ด้วยการเพิ่มความเข้มข้นของน้ำมันมะกอก การเกิดอิมัลชันของไคโตซานทำให้เกิดการรวมตัวอิมัลชันของหยดน้ำมันมะกอกในฟิล์มที่มีความเสถียร ทำให้ฟิล์มที่ได้มีความเป็นเนื้อเดียวกัน มีความบางและโปร่งแสง ความเป็นเนื้อเดียวกันของฟิล์มเกิดจากการกระจายตัวของก้อนไขมันในฟิล์มสามารถวัดได้จากค่า Contact Angle ด้วยกล้องจุลทรรศน์ คุณสมบัติการทนต่อการดึงจะเพิ่มขึ้นเมื่อเพิ่มความเข้มข้นของน้ำมันมะกอก ซึ่งอธิบายได้จากการเกิดพันธะระหว่างโมเลกุลด้วยไขมัน ความชื้นจากการดูดซับไอน้ำผ่านแผ่นฟิล์มและค่าสัมประสิทธิ์การแพร่จะลดลงเมื่อความเข้มข้นของน้ำมันเพิ่มขึ้น การวัดการละลายของฟิล์มเพื่อเป็นการเพิ่มประสิทธิภาพและแสดงถึงความแข็งแรงของฟิล์มผสมระหว่างไคโตซานและน้ำมันมะกอก (Pereda *et al.*, 2012)

2.4 ไหม

เส้นใยไหมเป็น โปรตีนชนิดหนึ่งที่หนอนไหมสังเคราะห์ขึ้นเพื่อห่อหุ้มร่างกายตัวเองรังไหม ประกอบไปด้วยเส้นไหมดิบที่เรียกว่าเส้นไหมไฟโบรอิน (Fibroin) สองเส้นร้อยละ 75 โดยน้ำหนักที่เกาะติดกันและเคลือบด้วยกาวไหมหรือที่เรียกว่า เซริซิน (Sericin) ร้อยละ 25 โดยน้ำหนัก ปริมาณของกาวไหม

จะขึ้นกับพันธุ์ไหมแต่ละชนิด ดังภาพที่ 2.4 นอกจากนี้ในเส้นไหมจะมีไขมันและน้ำมันอยู่ประมาณ 0.5-1 เปอร์เซ็นต์และสารสีธรรมชาติประมาณ 1-1.4 เปอร์เซ็นต์



รูปที่ 2.4 เส้นใยไหมดิบ (สิริรัตน์, 2548)

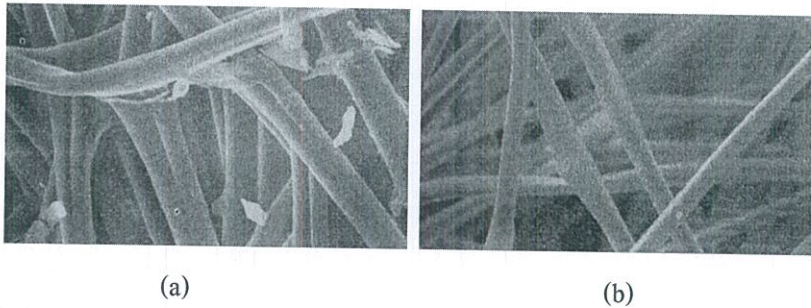
2.4.1 ไหมไฟโบรอิน

ไฟโบรอิน คือ โปรตีนเส้นใยที่เอามาทอผ้ามีคุณสมบัติไม่ละลายน้ำ มีองค์ประกอบหลักทางเคมีเป็นโปรตีนประกอบด้วยกรดอะมิโนชนิดเดียวกับเซริซิน คือ ไกลซีน อะลานีน เซอรีน และ ไทโรซีน ประมาณ 49.99, 26.54, 11.41 และ 5.35 เปอร์เซ็นต์ตามลำดับ ไฟโบรอินมีโครงสร้างที่เป็นผลึกมากมีการเรียงตัวที่เป็นระเบียบ ดังแสดงใน ภาพที่ 2.4 โมเลกุลไฟโบรอินจะเป็นโครงสร้างแบบ β -pleated sheet เหมือนกับ ยึดตัวไปตามแนวยาวเกิดเป็นโครงสร้าง β -pleated sheet แบบ Anti-parallelpleated sheet และกลายเป็นโครงสร้าง 3 มิติ มีแรงระหว่างโมเลกุล คือ พันธะไฮโดรเจนที่บริเวณผลึกของไฟโบรอิน

เนื่องจากไฟโบรอินมีสายโซ่โมเลกุลของพอลิเปปไทด์ที่มีน้ำหนักโมเลกุลสูงมีลักษณะเหยียดยาวยึดกันด้วยพันธะไฮโดรเจนที่แข็งแรงระหว่างหมู่คาร์บอกซิลและหมู่อะมิโนจึงทำให้ไฟโบรอินไม่ละลายน้ำ

2.4.2 ไหมเซริซิน

กาวไหมหรือเซริซินจะเป็นกาวเชื่อมเส้นใยไฟโบรอินสองเส้นให้ติดกันดังในภาพที่ 2.5(a) องค์ประกอบหลักทางเคมีเป็นโปรตีนก้อนกลมที่มีกรดอะมิโนชนิดเซอรีนเป็นองค์ประกอบหลักอยู่ในช่วง 16-38 เปอร์เซ็นต์แล้วแต่ชนิดของรังไหมแต่ละพันธุ์ เนื่องจากสายโซ่โมเลกุลของพอลิเปปไทด์ที่มีน้ำหนักโมเลกุลต่ำกว่าไฟโบรอินจึงทำให้มีคุณสมบัติละลายได้ในน้ำร้อนนอกจากนี้ยังละลายได้เมื่อต้มด้วยสารละลายสบู่ สารซักฟอกสังเคราะห์หรือกรดอินทรีย์ (สิริรัตน์, 2548)



รูปที่ 2.5 เส้นไหม (a) เส้นไหมติดกันเนื่องจากมีกาวไหมเซรีซินเชื่อม (b) ไผโบรอินสองเส้นแยกออกจากกัน

โดยทั่วไปแล้วไหมเลี้ยงจะมีไฟโบรอินประมาณ 70 เปอร์เซ็นต์เซรีซิน 20-30 เปอร์เซ็นต์เส้นใยจากรังไหม 97 เปอร์เซ็นต์เป็น โปรตีนบริสุทธิ์ที่มีส่วนประกอบอื่นเพียงเล็กน้อยเช่น ซึ่ผึ้ง คาร์โบไฮเดรต วัตลูมีตีและสารอนินทรีย์ ฯลฯ (เออีอีซี และ เข็มชัย 2530) แสดงในตารางที่ 2.1

ตารางที่ 2.1 ส่วนประกอบของชั้นรังไหมชนิด *Bombyxmori*. (อรุณี, 2548)

พันธุ์ไหม	ชั้นของรังไหม	ส่วนประกอบ (%)					
		น้ำ	ไฟโบรอิน	เซรีซิน	แอลกอฮอล์	อีเทอร์	ถ้ำ
N 122 x C 122	ชั้นนอก (30%)	10.69	65.86	31.36	1.44	1.36	0.893
	ชั้นกลาง(64%)	10.24	77.30	20.97	1.03	0.70	0.904
	ชั้นใน (6%)	10.06	73.57	23.78	0.96	1.69	0.922
Shuka x Girei	ชั้นนอก (32%)	10.48	70.48	27.16	1.23	1.13	0.835
	ชั้นกลาง(60%)	10.19	77.51	19.70	1.01	0.78	0.867
	ชั้นใน (8%)	9.52	79.05	18.62	1.09	1.24	0.861
Koishimaru	ชั้นนอก (28%)	10.27	73.25	24.13	1.42	1.20	0.804
	ชั้นกลาง(66%)	9.92	76.49	21.10	1.13	1.28	0.831
	ชั้นใน (6%)	9.96	77.55	20.05	1.01	1.39	0.858

เส้นใยไหมและกาวไหมประกอบด้วยกรดอะมิโน 18 ชนิดองค์ประกอบของกรดอะมิโนโปรตีนจากรังไหมแสดงไว้ในตารางที่ 2.2 ในตารางที่ 2.3 แสดงคุณสมบัติและหน้าที่สำคัญของกรดอะมิโนในผงไหมที่มีต่อร่างกาย

ตารางที่ 2.2 กรดอะมิโน 18 ชนิดที่เป็นองค์ประกอบในรังไหม (Robson *et al.*, 1998)

ชนิดกรดอะมิโน	น้ำหนักโมเลกุล	ปริมาณ (%โดยโมล)ไฟโบรอิน	ปริมาณ (%โดยโมล)เซริซิน
Glycine	75.06	44.60	13.49
Alanine	89.09	29.40	5.97
Valine*	117.15	2.20	2.75
Leucine*	131.17	0.53	1.14
Isoleucine*	131.17	0.66	0.72
Phenylalanine*	165.19	0.63	0.53
Methionine*	149.21	0.10	0.04
Tryptophane*	204.23	0.11	0.21
Proline	115.13	0.36	0.68
Tyrosine	181.19	5.17	2.61
Cystine/2	240.30	0.20	0.15
Serine	105.09	12.10	33.43
Threonine*	119.12	0.91	9.74
Aspartic acid	133.10	1.30	16.71
Glutamic acid	147.13	1.02	4.42
Histidine	155.16	0.14	1.30
Lysine*	146.19	0.32	3.30
Arginine	174.20	0.47	3.10

* กรดอะมิโนจำเป็นต่อร่างกาย

ตารางที่ 2.3 หน้าที่และคุณสมบัติของกรดอะมิโนสำคัญในผงไหม

ชนิดกรดอะมิโนในผงไหม	หน้าที่และคุณสมบัติ
Glycine	ควบคุมระดับคอเลสเตอรอล, ป้องกันและรักษาความดันโลหิตสูง และช่วยเสริมสร้างการทำงานของตับ
Alanine	เป็นแหล่งพลังงานสำคัญต่อเนื้อเยื่อกล้ามเนื้อสมองและระบบประสาทส่วนกลาง, ผลิต antibodies ที่ช่วยให้ระบบภูมิคุ้มกันดีขึ้น และช่วยในกระบวนการทำงานของน้ำตาลและกรดอินทรีย์
Serine	เป็นแหล่งในการสะสมน้ำตาล glucose ในตับและกล้ามเนื้อซึ่งช่วยส่งเสริมระบบการทำงานของ Insulin เป็นการลดน้ำตาลในเลือดซึ่งช่วยในการเผาผลาญไขมันที่สะสมในร่างกาย, ช่วยให้ระบบภูมิคุ้มกันแข็งแรงขึ้นและสังเคราะห์กรดไขมันล้อมรอบ nervefibers
Aspartic acid	ช่วยขับไล่อาการบาดเจ็บและสารพิษแอมโมเนียออกจากร่างกาย
Glutamic acid	ช่วยป้องกันผิวแห้งซึ่งเหมาะที่จะใช้ทำมอยส์เจอร์ไรเซอร์

เซรีซินเป็นโปรตีนที่เป็นองค์ประกอบของเส้นไหม เป็นโปรตีนที่ได้รับความสนใจและใช้ประโยชน์ในทางด้านเวชสำอางค์และชีวการแพทย์ ซึ่งจากการศึกษาวิจัยพบว่าเซรีวินเป็นโปรตีนที่มีโครงสร้างคล้ายกับเซลล์ผิวหนังมนุษย์มากที่สุดอีกทั้งยังสามารถไหมเซรีซินเป็นโปรตีนที่สามารถละลายน้ำได้ซึ่งสกัดได้ด้วยน้ำโดยใช้อุณหภูมิ ประมาณ 80 องศาเซลเซียส

2.4.3 วิธีการสกัดเซรีซิน

เซรีซินเป็นโปรตีนกาวของเส้นไหมที่ได้รับความสนใจในการใช้ประโยชน์ด้านเวชสำอางและชีวการแพทย์ ซึ่งได้จากเส้นไหมของ *Bombyx mori* อย่างไรก็ตามก็ยังมีการศึกษาและใช้ประโยชน์จากเซรีซินของเส้นไหมชนิดอื่นก่อนข้างจากัด โดยเฉพาะอย่างยิ่งในไหมอิตาลี (*Samia cynthia ricini*) ที่กำลังได้รับการส่งเสริมการเลี้ยงในภาคประชาชนและอุตสาหกรรมงานวิจัยนี้จึงต้องการศึกษาวิธีสกัดเซรีซินจากไหมทั้งสองชนิดและเปรียบเทียบแบบแผนของโปรตีนเซรีซินที่ได้ จากการเปรียบเทียบการสกัดเซรีซินด้วยน้ำ

170 กิโลดาลตัน แม้ว่าวิธีสกัดด้วยสารละลายโซเดียมคาร์บอเนตจะได้ปริมาณเซรีซินที่สูงกว่าวิธีสกัดด้วยน้ำ แต่โปรตีนที่ได้มีการสลายตัวมากกว่า

2.4.4 การหาสภาวะที่เหมาะสมต่อการสกัดเซรีซินจากรังไหม

สำหรับการสกัดเซรีซินจากรังไหม (*Bombyx mori*) นั้น รังไหมที่ใช้ในการศึกษาซื้อจากพงษ์เพชร ฟาร์ม จังหวัดกาฬสินธุ์ โดยได้ทำการหาสภาวะที่เหมาะสมในการสกัดเซรีซินด้วยสารละลายโซเดียมคาร์บอเนตความเข้มข้น 0.5 เปอร์เซ็นต์ โดยเปรียบเทียบอุณหภูมิที่ใช้ในการสกัด คือ 60 และ 80 องศาเซลเซียส ที่เวลา 30 นาที จากนั้นศึกษาเปรียบเทียบเวลาในการสกัดคือ 10 และ 30 นาที สำหรับการสกัดในน้ำกลั่น เปรียบเทียบอุณหภูมิที่ใช้ในการสกัด คือ 60, 80 และ 100 องศาเซลเซียส ที่เวลา 10 นาที กรองสารละลายผ่านผ้าขาวบาง การขจัดเกลือด้วยการโคอะไลซิสที่อุณหภูมิ 4 องศาเซลเซียส เป็นเวลา 10 ชั่วโมง และเพิ่มความเข้มข้นของสารสกัดเซรีซินด้วยวิธีทำแห้งเยือกแข็ง (Lyophilization)

2.4.5 ปริมาณและรูปแบบโปรตีนที่สกัดได้

วัดปริมาณเซรีซินที่สกัดได้ด้วย Bradford assay kit (Biorad, USA) โดยเปรียบเทียบและหาค่าความเข้มข้นของโปรตีนที่สกัดได้เปรียบเทียบกับกราฟมาตรฐานที่ได้จากการวัดปริมาณโปรตีนมาตรฐาน ซีรัมอัลบูมินที่ความเข้มข้น 0.0625, 0.125, 0.25, 0.5 และ 1.0 มิลลิกรัมต่อมิลลิลิตร โดยผสมโปรตีน 5 ไมโครลิตรกับสาร Bradford reagent ปริมาตร 250 ไมโครลิตร บ่มที่อุณหภูมิห้องเป็นเวลา 10 นาที จากนั้นนำไปวัดค่าการดูดกลืนแสงที่ 595 นาโนเมตรด้วยเครื่อง Microplate reader (BioTeK, USA) คำนวณปริมาณเซรีซินที่สกัดได้เป็นเปอร์เซ็นต์จากน้ำหนักรังไหมที่ใช้ จากนั้นศึกษารูปแบบของโปรตีนที่สกัดได้บน 4-15 เปอร์เซ็นต์ Gradient sodium dodecyl sulfate polyacrylamide gel electrophoresis (SDS-PAGE) (กนกพร และคณะ, 2555)

2.4.6 การประยุกต์ใช้โปรตีนเซรีซิน

การประยุกต์ใช้ประโยชน์จากเส้นไหมมนุษย์รู้จักใช้ประโยชน์จากไหมมาตั้งแต่อดีต สำหรับประเทศไทยถือได้ว่าไหมเกี่ยวข้องกับวิถีชีวิตผู้คนมาช้านานเช่นกันดังปรากฏหลักฐาน จากการค้นพบมรดกโลก บ้านเชียง จังหวัดอุดรธานี ที่พบเศษเส้นไหมที่มีอายุหลายพันปีรวมอยู่ด้วย ในอดีตไหมถูกนำมาทอเป็นเครื่องนุ่งห่มหรือส่วนประกอบของอุปกรณ์ แต่ปัจจุบันมีรายงานการนำไหมไปใช้ประโยชน์มากขึ้น ได้แก่ ส่วนประกอบในเครื่องสำอาง สารเติมแต่งในอาหารและเครื่องสำอาง วัสดุทางการแพทย์ โดยเฉพาะในวิศวกรรมเนื้อเยื่อ (Tissue engineering) การแพทย์ฟื้นฟู (Regenerative medicine) การรักษาด้วยยีน (Gene therapy) การควบคุมการปลดปล่อยยา (Controlled drug delivery) และเทคโนโลยีนาโนชีวภาพ (Bionanotechnology)

2.5 โครงสร้างของโปรตีน

2.5.1 โครงสร้างระดับปฐมภูมิ

โครงสร้างปฐมภูมิ (Primary structure) หมายถึงโครงสร้างที่เกิดจากกรดอะมิโนมาเรียงต่อกันด้วยพันธะเปปไทด์เป็นสายโซ่เปปไทด์ โครงสร้างนี้จะบอกได้เฉพาะจำนวนกรดอะมิโนทั้งหมดในโปรตีน โมเลกุลลักษณะการเรียงตัวของกรดอะมิโน (amino acid sequence) ชนิดของกรดอะมิโนที่เป็นส่วนประกอบของโปรตีนและ N-terminal amino acid และ C-terminal acid

2.5.2 โครงสร้างระดับทุติยภูมิ

โครงสร้างทุติยภูมิ (Secondary structure) สายพอลิเปปไทด์พับหรือม้วนเป็นเกลียวซึ่งจะยึดเหนี่ยวกันด้วยพันธะไฮโดรเจน มักทำให้เกิดโครงสร้าง 2 ชนิด คือ เป็น α -helix และ β -pleated sheet ดังภาพที่ 2.6 และภาพที่ 2.7 ตามลำดับ โครงสร้าง α -helix เป็นเกลียวเวียนขวาที่เกิดจากหมู่คาร์บอกซิลกับหมู่อะมิโนตัวที่ 4 ที่ถัดไปในสายพอลิเปปไทด์เดียวกันสร้างพันธะไฮโดรเจนระหว่างกันจะเป็นโครงสร้างที่เสถียรน้อยกว่า β -pleated sheet ที่สร้างพันธะไฮโดรเจนระหว่างสายพอลิเปปไทด์ 2 สายที่ขนานกันตลอดทั้งสาย โครงสร้างของ β -pleated sheet มี 2 โครงสร้าง คือ

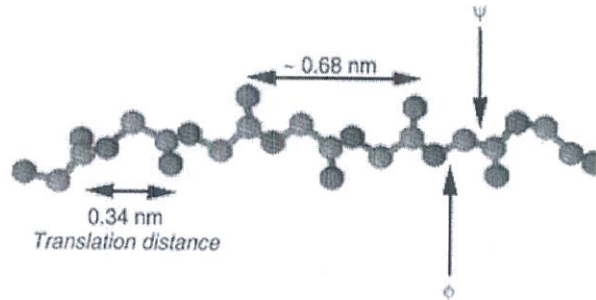
1. Parallel pleated sheet เกิดจากสายพอลิเปปไทด์ที่พับไปมาและยึดกันไว้ด้วยพันธะไฮโดรเจนมีการเรียงลำดับจาก N-terminal amino acid ไป C-terminal amino acid ในทิศทางเดียวกัน
2. Anti-parallel pleated sheet สายเปปไทด์ที่ยึดกันด้วยพันธะไฮโดรเจนมีการเรียงลำดับจาก N-terminal amino acid ไป C-terminal amino acid ในทิศทางที่สวนทางกัน



รูปที่ 2.6 โครงสร้างของแอลฟา-เฮลิกซ์แบบ π -เฮลิกซ์

2.5.3 โครงสร้างระดับทุติยภูมิของสายบีต้า

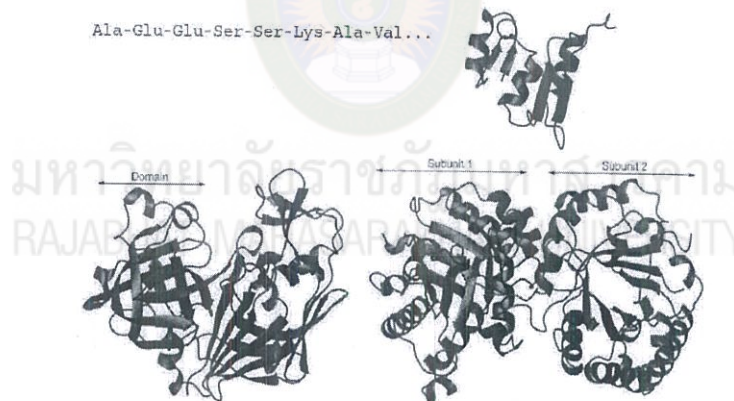
โครงสร้างทุติยภูมินี้จะมีลักษณะแบนไม่เป็นเกลียวเหมือนแอลฟา-เฮลิกซ์มีรูปร่างยาว โดยหนึ่งเกลียวประกอบด้วยกรดอะมิโนมีความยาวของสายประมาณ 0.7 นาโนเมตรมีสองกรดอะมิโนในหนึ่งเกลียวมีระยะ 0.34 นาโนเมตรในสายบีต้าดังรูปที่ 2.7



รูปที่ 2.7 โครงสร้างของสายบีต้า

2.5.4 โครงสร้างระดับตติยภูมิ (Tertiary Structure) หรือโครงสร้างสามมิติ

โครงสร้างระดับตติยภูมิจะเป็นโครงสร้างของโปรตีนที่มีการม้วนพับของเส้นโพลีเปปไทด์มีโครงสร้างทุติยภูมิและมีโครงสร้างที่เป็นแบบสุ่มดังรูปที่ 2.8



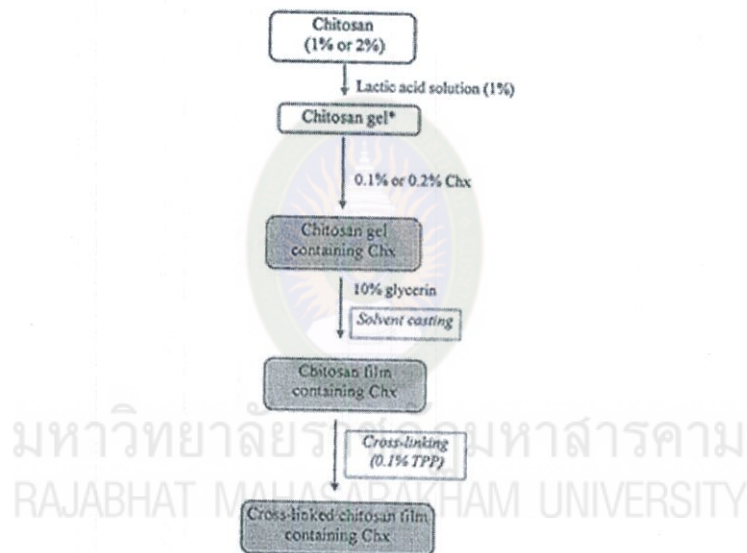
รูปที่ 2.8 โครงสร้างสามมิติของโปรตีน

การม้วนพับของโปรตีนทั้งจากโครงสร้างระดับทุติยภูมิและการมีปฏิสัมพันธ์เกี่ยวข้องสัมพันธ์กันระดับอะตอมทำให้เกิดโครงรูปของโปรตีนขึ้นมีพันธะที่เกิดจากการทำปฏิสัมพันธ์กันของแต่ละอะตอมที่เป็นส่วนประกอบของโปรตีนหลายชนิดเช่นพันธะไดซัลไฟด์แรงอิเล็คโตรสแตติก (Electrostatic Force) แรงวันเดอร์วาลส์แรงไฮโดรโฟบิกและพันธะไฮโดรเจนที่เกิดจากโครงสร้างหลักโดยพบว่าแรงดึงดูดของแต่ละอะตอมจะทำให้เกิดโปรตีนเป็นก้อนกลมที่มีความเสถียรการที่เกิดโครงสร้างสามมิติของโปรตีนแสดงว่าแรง

คึ่งคูของแต่ละอะตอมต้องมากกว่าแรงผลึกทำให้เกิด โครงสร้างสามมิติที่เสถียรซึ่งมีความแตกต่างกันใน ความสัมพันธ์ของความถี่และความแข็ง

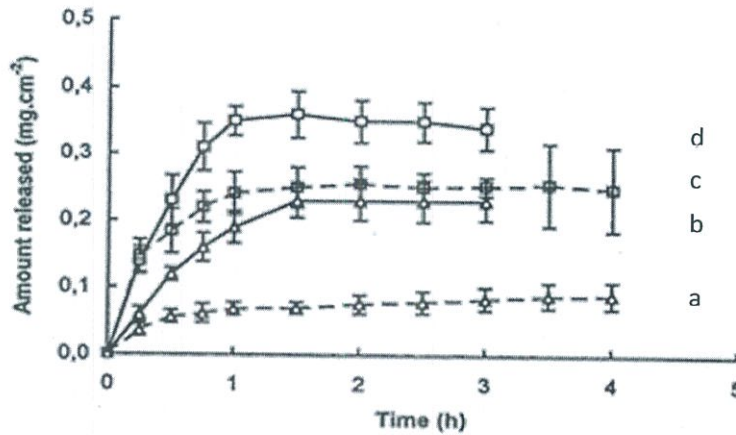
2.6 เอกสารและงานวิจัยที่เกี่ยวข้อง

ฟิล์มไคโตซานสามารถเตรียมได้ด้วยเทคนิคการเคลือบของสารละลาย (solution casting method) มีการใช้ฟิล์มไคโตซาบบรรจุยาที่ละลายน้ำได้ดีเป็นระบบนำส่งยาแบบเฉพาะที่และควบคุมการปลดปล่อย (local and controlled release drug delivery system) ได้แก่ ยาคลอร์เฮกซิดิน กลูโคเนท (chlorhexidine gluconate, Chx) ที่เป็นยาต้านจุลชีพ ซึ่งมีการใช้เป็นส่วนผสมของน้ำยาบ้วนปาก โดยมีการใช้ฟิล์มไคโตซานที่บรรจุยาเพื่อวัตถุประสงค์ในการรักษาร่องลึกปริทันต์ (periodontal pocket) [8] โดยทำการละลายยาคลอเฮกซิดิน กลูโคเนท ก่อนทำการเตรียมฟิล์ม มีการใช้กลีเซอริน (glycerin) เป็นสารหล่อลื่นระดับโมเลกุล (plasticizer) เพื่อให้ฟิล์มมีความยืดหยุ่นมากขึ้น และทำปฏิกิริยาการเชื่อมขวางโมเลกุลของไคโตซานโดยใช้ tripolyphosphate sodium salt เป็นสารเชื่อมขวาง แสดงการเตรียมฟิล์มไคโตซานที่บรรจุยาดังกล่าว ดังรูปที่ 2.9



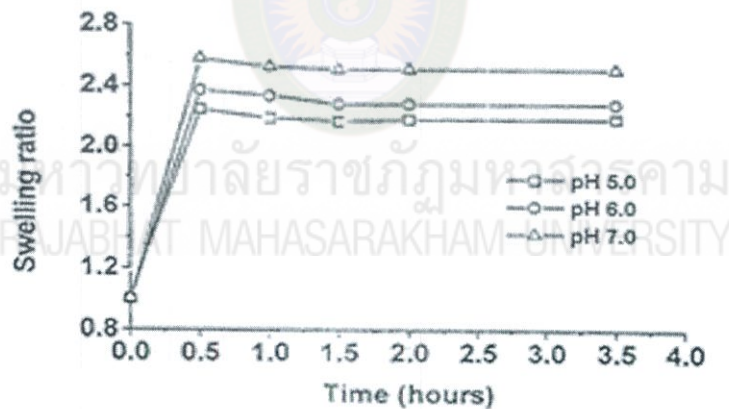
รูปที่ 2.9 การเตรียมฟิล์มไคโตซานที่บรรจุยาคลอร์เฮกซิดิน กลูโคเนท (Edlund *et al.*, 2002)

สำหรับการทดสอบการปลดปล่อยยาคลอเฮกซิดิน กลูโคเนทจากฟิล์มไคโตซาน ได้มีการทดสอบแบบ อิน วิโทร โดยทดสอบการปลดปล่อยยาในน้ำกลั่นที่อุณหภูมิ 37 องศาเซลเซียส ได้ผลการทดสอบ ดังรูปที่ 2.10 ซึ่งพบว่าปริมาณการปลดปล่อย (amount release) ของปริมาณยาต่อพื้นที่ของฟิล์มมีค่าเพิ่มมากขึ้นเมื่อปริมาณยาที่บรรจุอยู่ในฟิล์มเพิ่มมากขึ้น และอัตราการปลดปล่อยยามีค่าลดลง เมื่อฟิล์มไคโตซานผ่านการเกิดปฏิกิริยาเชื่อมขวาง (Edlund *et al.*, 2002)

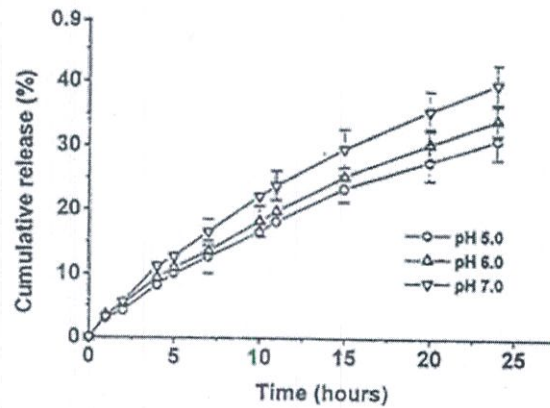


รูปที่ 2.10 รูปแบบการปลดปล่อยที่เวลาต่างๆ ของชาคลอโรจีเนอิก กรด โคลิเจนจากฟิล์มไคโตซานที่บรรจุยา 0.1% (a, b) และ 0.2% (c, d) เมื่อเส้นปะและเส้นทึบแสดงถึงฟิล์มที่ไม่เกิดการเชื่อมขวางและเกิดการเชื่อมขวาง ตามลำดับ (Edlund *et al.*, 2002)

การเกิดปฏิกิริยาเชื่อมขวางของโมเลกุลของไคโตซานพบว่าเมื่ออิทธิพลต่ออัตราการปลดปล่อยยา เช่นกัน ดังการทำปฏิกิริยาเชื่อมขวางด้วยโซเดียม ซิเตรตที่มีสถานะค่าพี เอชต่างๆ พบว่าที่พี เอช 5 โมเลกุลของไคโตซานจะเกิดปฏิกิริยาการเชื่อมขวางในปริมาณที่มากกว่าที่พี เอช 6 และ 7 จึงทำให้ฟิล์มไคโตซานมีอัตราการบวม (swelling ratio) ในน้ำที่น้อยกว่า ดังรูปที่ 2.11 ซึ่งอัตราการบวมในน้ำของฟิล์มมีความสัมพันธ์โดยตรงกับอัตราการปลดปล่อยยาไรโบฟลาวิน (riboflavin) ดังแสดงในรูปที่ 2.12

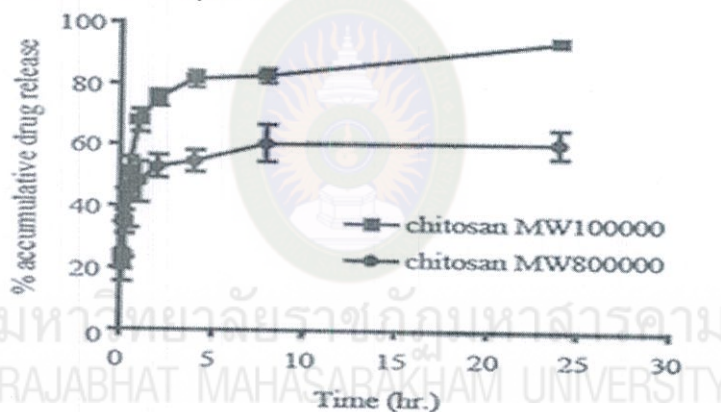


รูปที่ 2.11 อัตราการบวมของฟิล์มไคโตซานแบบเชื่อมขวางที่บรรจุยาไรโบฟลาวิน ที่เวลาต่างๆ ที่เตรียม โดยมีการเกิดปฏิกิริยาการเชื่อมขวางด้วยโซเดียมซิเตรตที่มีสถานะพี เอช ต่างๆ (Senel *et al.*, 2002)



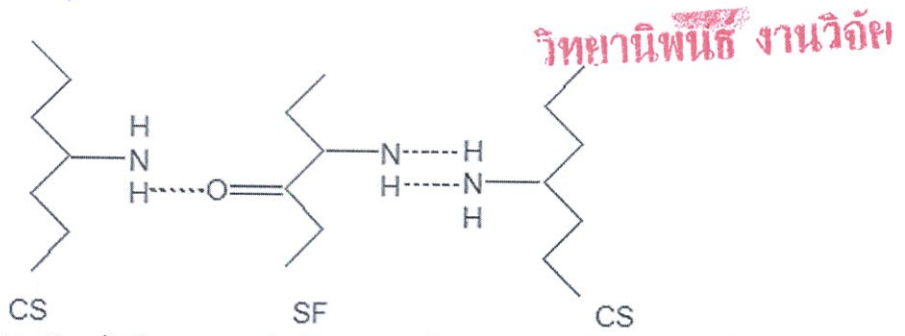
รูปที่ 2.12 รูปแบบการปลดปล่อยยาไบรอฟลาวินจากฟิล์มไคโตซานแบบเชื่อมขวาง ที่เวลาต่างๆ ที่เตรียม โดยมีการเกิดปฏิกิริยาการเชื่อมขวางด้วยโซเดียม ซิเตรตที่มีสถานะพี เอช ต่างๆ (Senel *et al.*, 2002)

สำหรับอิทธิพลของน้ำหนักโมเลกุลของไคโตซานที่มีต่ออัตราการปลดปล่อยยาที่ละลายน้ำได้มีการศึกษาโดยใช้ยาเมธิมาโซล (methimazole) ซึ่งเป็นยาที่มีฤทธิ์ในการรักษาไทรอยด์เป็นพิษ พบว่าอัตราการปลดปล่อยยาเมธิมาโซลมีค่าลดลง เมื่อน้ำหนักโมเลกุลของไคโตซานที่ใช้เตรียมฟิล์มมีค่ามากขึ้น (Piriyaprasart *et al.*, 2004) ดังแสดงในรูปที่ 2.13



รูปที่ 2.13 รูปแบบการปลดปล่อยยาเมธิมาโซลจากฟิล์มไคโตซานที่มีน้ำหนักโมเลกุลต่างกัน (Piriyaprasart *et al.*, 2004)

สำหรับฟิล์มผสมของไคโตซานและไหม ไฟโบรอิน (ซึ่งมีคุณสมบัติเป็นโปรตีนเช่นเดียวกับไหมเซรีซิน) ได้มีการรายงานถึงการเกิดพันธะไฮโดรเจนระหว่างโมเลกุลของไคโตซาน (chitosan, CS) และไหม ไฟโบรอิน (silk fibroin, SF) ดังแสดงในรูปที่ 2.14 (Chen *et al.*, 2006; Park *et al.*, 1997; Kweon *et al.*, 2001) ซึ่งทำให้รูปแบบโมเลกุล (molecular conformation) ของไหม ไฟโบรอินเปลี่ยนไป และทำให้สมบัติการชอบน้ำ และสมบัติเชิงกลเปลี่ยนแปลงไป ซึ่งการเปลี่ยนแปลงสมบัติต่างๆ เหล่านี้ ยังไม่ได้มีการศึกษาถึงอิทธิพลต่อการปลดปล่อยยาของฟิล์มผสมเหล่านี้ ที่จะได้ทำการศึกษาวิจัยในงานวิจัยนี้



รูปที่ 2.14 การเกิดพันธะไฮโดรเจนระหว่างโมเลกุลของโคโคซานและไหม ไฟโบรอิน

(Chen *et al.*, 2006)



มหาวิทยาลัยราชภัฏมหาสารคาม
RAJABHAT MAHASARAKHAM UNIVERSITY

บทที่ 3

วิธีดำเนินการวิจัย

3.1 วัสดุและสารเคมี

รังไหมพันธุ์พื้นบ้าน (*Silk Bombyx mori*) โดยความอนุเคราะห์ของศูนย์นวัตกรรมไหม มหาวิทยาลัยมหาสารคาม สารเคมีที่ใช้ในการทดลองแสดง ดังตารางที่ 3.1

ตารางที่ 3.1 สารเคมีที่ใช้ในการทดลอง

Chemicals	Grade	Supplier
Calcium chloride (CaCl ₂)	Laboratory reagent	Ajax Finechem
Collagen powder (Type I)	AR grade	Sigma
Ethanol	AR grade	Ajax Finechem
Ethyl acetate	Reagent grade	Carlo Erba
Sodium carbonate	AR grade	Carlo Erba

3.2 เครื่องมือที่ใช้ในการทดลอง

เครื่องมือที่ใช้สำหรับการศึกษาทดลองในครั้งนี้แสดงดังตารางที่ 3.2.

ตารางที่ 3.2 เครื่องมือที่ใช้ในการทดลอง

Instruments	Model	Company
Differential Scanning Calorimeter	Pyris Dimond	Perkin Elmer
Thermo Gravimetric Analyzer	Qserie600	Perkin Elmer
FTIR spectrometer	Centurion	Scientific LTD
Scanning electron microscope (SEM)	Spectrum GX JSM-6460LV	JEOL
UV-Visible Spectrophotometer	Lamda 25	Perkin Elmer
Vacuum oven	Vacucell	MMM Group

3.3 วิธีการเตรียมสารละลายเฮมิเซลลูโลส

นำรังไหมมาต้ม ณ อุณหภูมิ 90-100 องศาเซลเซียสในสารละลายโซเดียมคาร์บอเนตความเข้มข้น 0.02 โมลาร์ (0.02 M Na_2CO_3) จากนั้นนำน้ำต้มรังไหมหรือ กาวไหมเฮมิเซลลูโลส นำมาผ่านกระบวนการไดอะไลซิสเพื่อกำจัด Na_2CO_3 ด้วยเทคนิคไดอะไลซิสในถุงเซลลูโลสซึ่งมีขนาดรูพรุน (Molecular cut off 6000-8000 KDa) ในน้ำกลั่นเป็นเวลา 48 ชั่วโมง ก่อนที่จะนำมากรองและปรับปริมาตรด้วยน้ำกลั่นให้มีความเข้มข้น 0.5 เปอร์เซ็นต์โดยน้ำหนัก

3.4 การเตรียมสารละลายไคโตซาน

ชั่งไคโตซานน้ำหนักโมเลกุลเท่ากับ 100,000 กรัมต่อโมล ปริมาณ 2 กรัม ละลายในสารละลาย 2 เปอร์เซ็นต์โดยปริมาตรของกรดอะซิติกที่มีปริมาตร 400 มิลลิลิตรภายใต้สภาวะการปั่นกวนจะได้สารละลายไคโตซานที่มีความเข้มข้น 0.5 เปอร์เซ็นต์โดยน้ำหนัก

3.5. การเตรียมฟิล์มผสมระหว่างไคโตซานและไหมเซลลูโลส

นำสารละลายไหมเซลลูโลสที่เตรียมได้จากข้อ 3.3 มาผสมกับสารละลายไคโตซานที่เตรียมได้จากข้อ 3.4 ด้วยอัตราส่วน 1/0 1/1 2/1 และ 1/2 ตามลำดับ นำสารละลายที่ผสมกันด้วยอัตราส่วนต่างๆนำไปปั่นกวนเป็นเวลา 1 ชั่วโมง นำสารละลายผสมที่ได้เทลงในเพลทแก้วเลี้ยงเชื้อ จากนั้นนำไปอบที่อุณหภูมิ 45 องศาเซลเซียสเป็นเวลา 12 ชั่วโมง จะได้ฟิล์มผสมระหว่างไคโตซานและไหมเซลลูโลส

3.6 การเตรียมฟิล์มผสมระหว่างไคโตซานและไหมเซลลูโลสที่บรรจุยาเตระไซคลิกไฮโดรคลอไรด์

ฟิล์มผสมระหว่างไคโตซานและไหมเซลลูโลสสามารถเตรียมได้ด้วยวิธีเดียวกัน โดยการเติมยาตัวอย่างคือเตระไซคลิกไฮโดรคลอไรด์ลงในสารละลายผสมของไคโตซานและไหมเซลลูโลสด้วยอัตราส่วนของฟิล์มผสมต่อยาตัวอย่างที่อัตราส่วน 100/10 ในฟิล์มผสมทุกอัตราส่วน เมื่อทำการขึ้นรูปฟิล์มเรียบร้อยแล้วนำฟิล์มผสมที่มียาตัวอย่างบรรจุอยู่ไปทดสอบอัตราการปลดปล่อยยาต่อไป

3.7 การหาลักษณะเฉพาะของฟิล์มผสมระหว่างไคโตซานและไหมเซลลูโลส

3.7.1 ลักษณะพื้นฐาน

การศึกษาลักษณะพื้นฐานฟิล์มผสมระหว่างไคโตซานและไหมเซลลูโลส ศึกษาด้วยกล้องจุลทรรศน์อิเล็กตรอนแบบส่องกราด (SEM) โดยตัดฟิล์มให้เป็นชิ้นเล็ก ๆ วางในแนวตั้งและแนวนอน จากนั้นนำไปเคลือบด้วยทองคำ เพื่อเหนี่ยวนำอิเล็กตรอน ที่บริเวณผิวหน้าของแผ่นฟิล์มปิดแผล

3.7.2 ความหนาโดยเฉลี่ย

นำแผ่นฟิล์มผสมระหว่างไคโตซานและไหมเซรีซินที่ได้นำไปวัดด้วยโปรแกรม View Smile Shop โดยกล้องจุลทรรศน์อิเล็กตรอนแบบส่องกราด (SEM) ประมาณ 12 ค่าแล้วนำค่าที่ได้มาคำนวณหา ค่าเฉลี่ยและส่วนเบี่ยงเบนมาตรฐาน

3.7.3 โครงรูปของแผ่นฟิล์มผสม

โครงรูปของแผ่นฟิล์มผสม ศึกษาโดยใช้เทคนิค FT-IR ด้วยเครื่อง Perkin-Elmer Spectrum FTIR spectrometer และใช้อากาศเป็นตัวอ้างอิง โดยใช้ resolution เป็น 4 cm^{-1} จำนวนสแกนเท่ากับ 10 สแกน

3.7.4 ทดสอบการละลาย

นำฟิล์มผสมระหว่างไคโตซานและไหมเซรีซินที่ได้นำมาตัด ให้ได้ขนาด 2×2 เซนติเมตร แล้วนำไปชั่งน้ำหนัก ทำการบันทึกน้ำหนักก่อนละลาย จากนั้นนำไปแช่ในน้ำกลั่นปริมาตร 100 มิลลิลิตร เป็นเวลา 1 ชั่วโมง และตั้งทิ้งไว้เป็นเวลา 24 ชั่วโมงก่อนจะนำไปอบในตู้อบสูญญากาศ เป็นเวลา 12 ชั่วโมง จากนั้นนำมาชั่งน้ำหนักหลังละลาย นำค่าที่ได้ไปคำนวณหาคุณสมบัติการละลายซึ่งสามารถคำนวณได้ดังสมการที่ 3.1

$$\% \text{ การละลายของฟิล์มผสม} = \frac{\text{น้ำหนักฟิล์มก่อนแช่น้ำ} - \text{น้ำหนักฟิล์มที่แช่น้ำ}}{\text{น้ำหนักฟิล์มก่อนแช่น้ำ}} \times 100 \quad (3.1)$$

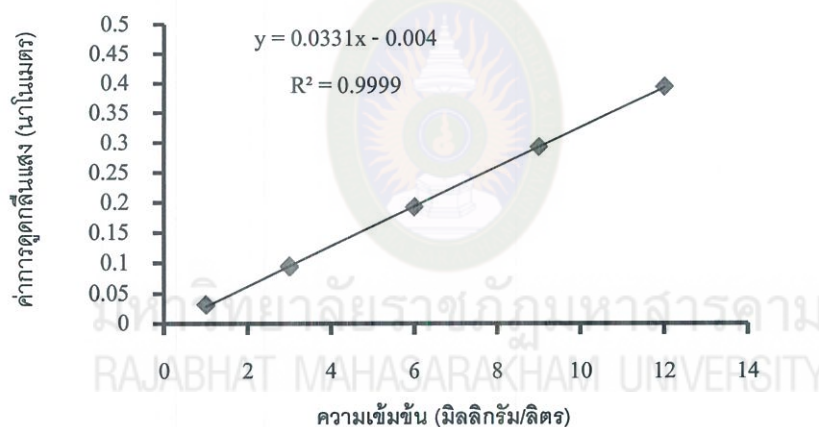
มหาวิทยาลัยราชภัฏมหาสารคาม
RAJABHAT MAHASARAKHAM UNIVERSITY

3.7.5 การทดสอบความเสถียรด้วยความร้อน

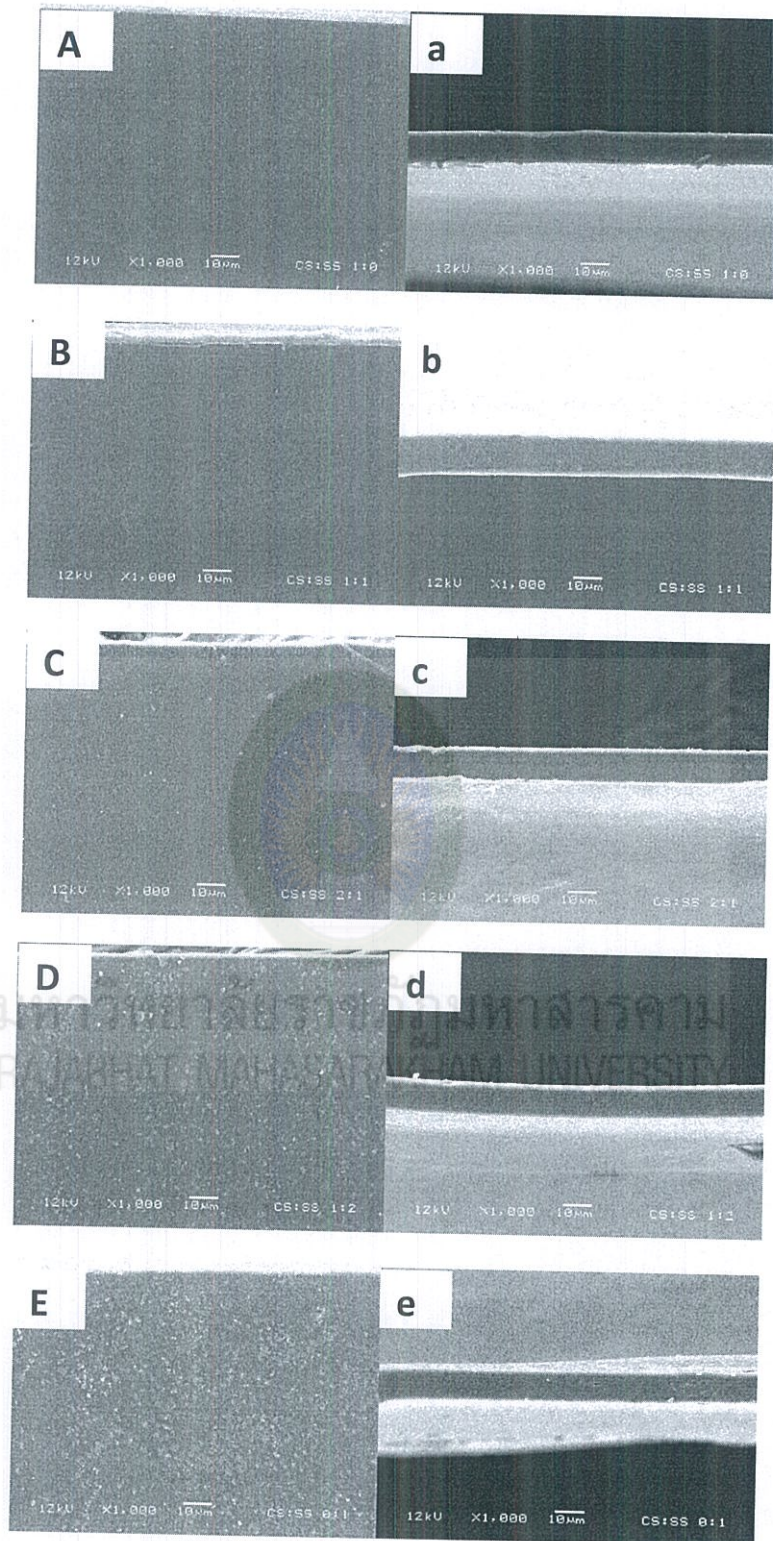
การทดสอบความเสถียรต่อความร้อนของฟิล์มโดยใช้เครื่อง Thermo Gravimetric Analyzer นำตัวอย่างฟิล์มชั่งน้ำหนักประมาณ 2-3 มิลลิกรัมใส่ลงในแพทตินัมเพนจากนั้นทำการวิเคราะห์ภายใต้สภาวะแก๊สไนโตรเจนอุณหภูมิ 50-800 องศาเซลเซียส ด้วยความเร็ว 20 องศาเซลเซียส/นาที

3.8 การศึกษาพฤติกรรมการปลดปล่อยยาของฟิล์มผสมระหว่างไกลโตซานและไทม์เซรีซิน

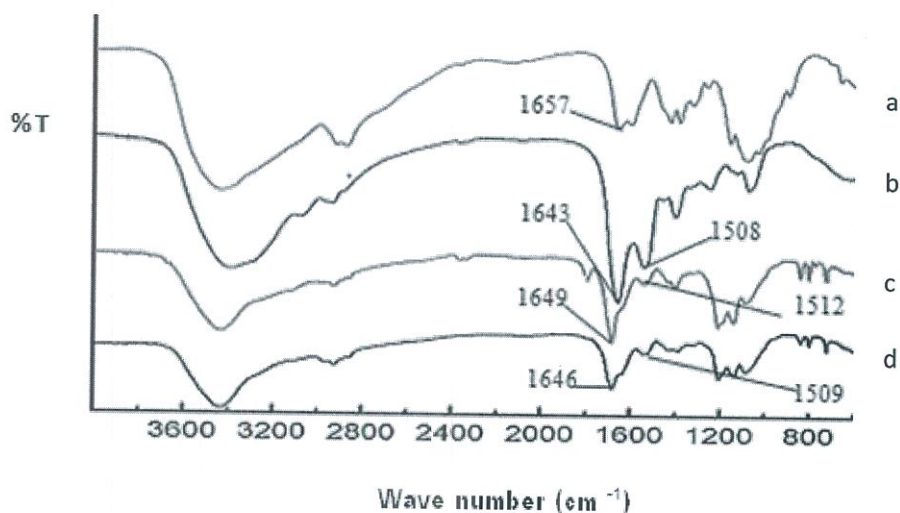
นำฟิล์มผสมที่บรรจุยาตัวอย่างมาตัดให้มีขนาด 2x2 เซนติเมตร ใส่ลงในขวดรูปชมพู่ขนาด 150 มิลลิลิตร จากนั้นเติมสารละลาย Phosphate Buffer Saline พีเอชเท่ากับ 7.4 ปริมาณ 100 มิลลิลิตร นำไปเขย่าด้วยเครื่องเขย่าที่อุณหภูมิ 37 องศาเซลเซียส ทำการเปิดสารละลายปริมาตร 2 มิลลิลิตร และเติมสารละลาย Phosphate Buffer Saline ปริมาตร 2 มิลลิลิตรลงไปเพื่อทดแทนสารละลายที่ปีเปิดออกมา นำสารละลายที่ปีเปิดออกมาไปวัดค่าดูดกลืนแสงที่ความยาวคลื่น 353 นาโนเมตร ซึ่งเป็นค่าดูดกลืนแสงของยาเตตระไซคลินไฮโดรคลอไรด์ ทำการวัดด้วยเครื่อง UV-Visible spectrophotometer จากนั้นทำการคำนวณเพื่อหาความเข้มข้นของยาตัวอย่าง โดยวัดค่าการดูดกลืนแสงของยาที่ปลดปล่อยออกมาจากฟิล์มผสม หลังจากทำการเขย่าเป็นเวลา 3 6 12 24 และ 48 ชั่วโมง ซึ่งจะคำนวณเทียบจากกราฟมาตรฐานของยาเตตระไซคลินไฮโดรคลอไรด์ ซึ่งกราฟมาตรฐานของเตตระไซคลินไฮโดรคลอไรด์แสดงดังรูปที่ 3.1 ปริมาณยาที่ปลดปล่อยออกมาในแต่ละชั่วโมงจะนำไปรายงานผลในรูปของกราฟเส้น เพื่อเปรียบเทียบการปลดปล่อยยาของฟิล์มผสมที่มีอัตราส่วนของไทม์เซรีซินที่แตกต่างกันในแต่ละช่วงเวลา



รูปที่ 3.1 กราฟมาตรฐานของยาเตตระไซคลินไฮโดรคลอไรด์



รูปที่ 4.1 ลักษณะสัณฐาน(A-E) และภาพตัดขวางของฟิล์มผสม(a-e) ระหว่างไคโตซานและโหมเซรีซินในอัตราส่วน 1/0, 1/1 2/1 1/2 และ 0/1 ตามลำดับ



รูปที่ 4.2 แสดงสเปกตรัมอินฟราเรดของแผ่นฟิล์มปิดแผลผสมระหว่างไคโตซานและไหมเชริซิน ในอัตราส่วน 1/0 (a) 0/1 (b) 2/1 (c) และ 1/2 (d) โดยน้ำหนักตามลำดับ

4.4 การทดสอบการละลาย

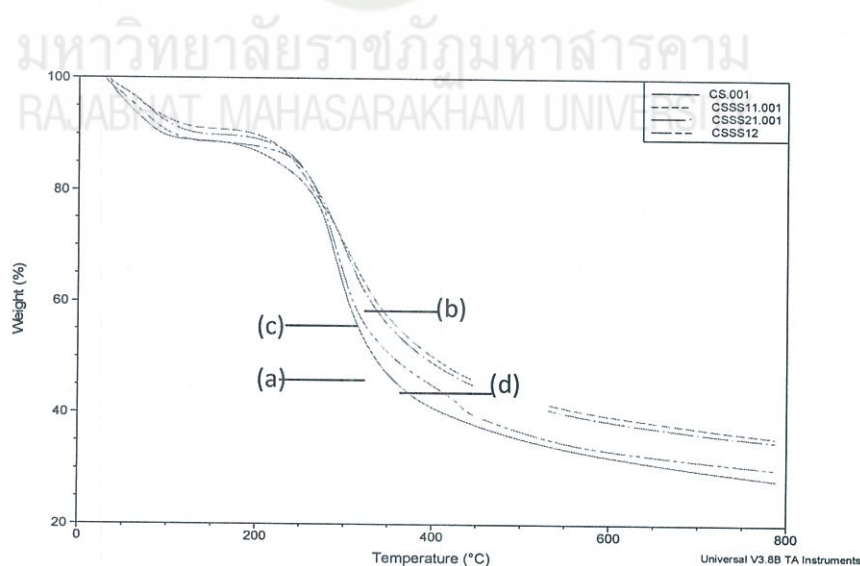
จากการศึกษาคุณสมบัติการละลายของฟิล์มผสมดังแสดงในตารางที่ 5.2 พบว่า เมื่ออัตราส่วนของไหมเชริซินในฟิล์มผสมเพิ่มขึ้นความสามารถในการละลายของฟิล์มจะเพิ่มขึ้น ทั้งนี้เนื่องจากโปรตีนเชริซิน เป็น โปรตีนที่สามารถละลายน้ำได้ดี ส่วนไคโตซานจะละลายได้ในตัวทำละลายที่มีคุณสมบัติเป็นกรดอ่อนๆซึ่งจากงานวิจัยที่มีการใช้ไคโตซานจะทำการละลายไคโตซานในสารละลายกรดอะซิติกเข้มข้น 2 เปอร์เซ็นต์โดยปริมาตร ซึ่งผลการละลายดังกล่าวจะส่งผลต่อการปลดปล่อยยาออกจากฟิล์มซึ่งฟิล์มที่ละลายได้ดี โมเลกุลของยาจะถูกปลดปล่อยออกมาเร็วกว่าฟิล์มที่สามารถละลายน้ำได้น้อย ผลการศึกษานี้มีความสัมพันธ์กับการศึกษาคุณสมบัติโครงสร้างทางเคมีของฟิล์มผสมที่แสดงถึงคุณลักษณะของโครงสร้างโปรตีนที่สามารถละลายน้ำได้ของไหมเชริซิน

ตารางที่ 4.2 แสดงร้อยละการละลายของฟิล์มผสมระหว่างไคโตซานและไหมเชริซิน

อัตราส่วนผสม ไคโตซาน/ไหมเชริซิน	ร้อยละการ	ส่วนเบี่ยงเบนมาตรฐาน
1/0	46	± 3.2
1/1	57	± 2.7
2/1	48	± 4.6
1/2	74	± 5.8
0/1	95	± 3.5

4.5 การศึกษาความเสถียรต่อความร้อนของฟิล์มผสม

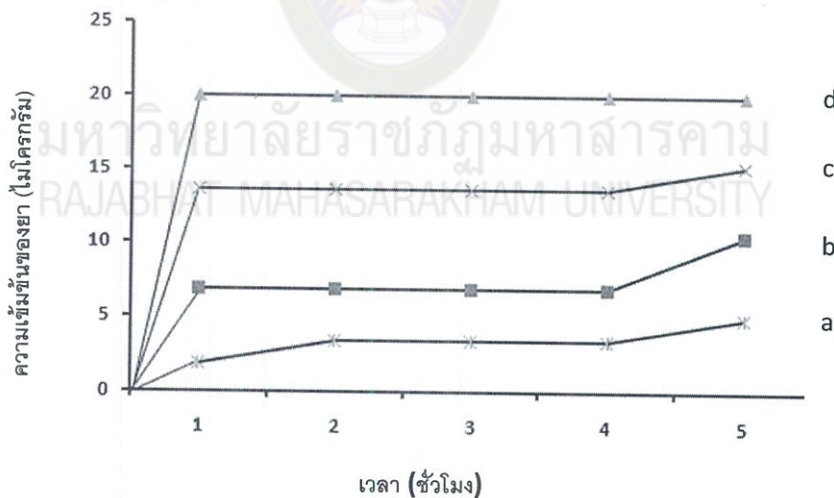
จากผลการศึกษาความเสถียรต่อความร้อนของฟิล์มผสมพบว่าเมื่อฟิล์มไคโตซานผสมกับไหมเชริซินจะทำให้ฟิล์มผสมมีความเสถียรต่ออุณหภูมิเพิ่มมากขึ้นทั้งนี้จะสังเกตเห็นได้ว่ารูปเทอร์โมแกรม (b) เป็นของฟิล์มผสมในอัตราส่วน 1/1 จะแสดงน้ำหนักที่เหลือจากการเผาไหม้ในร้อยละที่สูงกว่าอัตราส่วนต่างๆ ซึ่งสามารถอธิบายได้ว่า ในอัตราส่วนผสมนี้ฟิล์มมีลักษณะเป็นเนื้อเดียวกันและไคโตซานสามารถเข้ากันได้ดีกับไหมเชริซิน ซึ่งโปรตีนจากไหมเมื่อนำมาเผาจะเหลือน้ำหนักของพวกเค้า จึงส่งผลให้น้ำหนักที่เหลือมีค่ามากกว่าฟิล์มผสมของไคโตซาน



รูปที่ 4.3 แสดงเทอร์โมแกรมจากเครื่อง Thermo gravimetric analyzer (TGA) ของฟิล์มผสมระหว่างไคโตซานและไหมเชริซินในอัตราส่วนอัตราส่วน 1/0 (a) 1/1 (b) 2/1 (c) และ 1/2 (d)ตามลำดับ

4.6 การทดสอบการปลดปล่อยยาแบบ อิน วิโทร (*In vitro* releasing test)

การทดสอบการปลดปล่อยยาแบบ อิน วิโทร ของฟิล์มผสมระหว่างไคโตซานและไหมเชริซิน ในอัตราส่วนต่างๆ ซึ่งทำการบรรจุยาแล้วนำมาขึ้นรูปเป็นฟิล์มที่มียาบรรจุอยู่ จากการศึกษากการปลดปล่อยยาและปริมาณยาที่สะสมในแต่ละช่วงเวลา เมื่อนำมาพลอตกราฟจะได้กราฟที่แสดงใน ดังรูป 4.5 โดยแกน Y เป็นปริมาณยาตัวอย่างที่ปลดปล่อยออกมา แกน X คือ ช่วงเวลาต่างๆ ที่ทำการตรวจวัดปริมาณยาตัวอย่าง จากกราฟในช่วง 1 ชั่วโมงแรก ยาตัวอย่างจะปลดปล่อยออกมาอย่างรวดเร็ว ซึ่งเป็นการแพร่ของ โมเลกุลยาที่อยู่บริเวณผิวและโมเลกุลที่อยู่ใกล้เคียงผิวของฟิล์ม จากนั้น ปริมาณยาที่ปลดปล่อยออกมามีปริมาณสะสมที่แตกต่างกันทั้งนี้เนื่องจาก คุณสมบัติการละลายของฟิล์มที่แตกต่างกัน โดยจะสังเกตเห็นได้ว่า ฟิล์มไคโตซาน(กราฟเส้น a) ยาจะถูกปลดปล่อยออกมาช้าเนื่องจากฟิล์มไคโตซานมีคุณสมบัติการละลายที่ต่ำ จึงทำให้ยาปลดปล่อยออกมาช้ากว่าฟิล์มที่มีเชริซินเป็นส่วนผสม นอกจากนี้ยังสังเกตเห็นได้อีกว่าเมื่อ อัตราส่วนของเชริซินเพิ่มขึ้น โมเลกุลของยาจะปลดปล่อยออกมาได้เร็วขึ้นทั้งนี้เนื่องไหมเชริซินเป็น โปรตีนที่สามารถละลายน้ำได้ดีจึงส่งผลต่อการปลดปล่อยยาได้เร็วขึ้น



รูปที่ 4.5 รูปแบบของการปลดปล่อยยาเตตระไฮดรอลอยด์จากฟิล์มไคโตซานที่มีอัตราส่วนของไหมเชริซินที่แตกต่างกัน โดย (a) 1/0 (b) 2/1 (c) 1/1 และ (d) 1/2 ตามลำดับ

บทที่ 5

สรุป อภิปรายผล และข้อเสนอแนะ

5.1 สรุปผลการทดลอง

จากการศึกษาผลการของการเตรียมฟิล์มผสมระหว่างไคโตซานและไหมเชริซิน โดยศึกษาอิทธิพลอัตราส่วนของไหมเชริซินที่มีผลต่อลักษณะเฉพาะของฟิล์มผสม เช่น ลักษณะพื้นฐาน ความหนา โครงรูปการละลาย ความเสถียรต่อความร้อน และ พฤติกรรมการปลดปล่อยยาของฟิล์มผสม

จากการศึกษาวิจัยสามารถสรุปได้ดังนี้

5.1.1 ฟิล์มผสมระหว่างไคโตซานและไหมเชริซินสามารถเตรียมได้ด้วยเทคนิคการเคลือบด้วยตัวทำละลาย

5.1.2 อัตราส่วนของไหมเชริซินมีอิทธิพลต่อลักษณะพื้นฐานและความเป็นเนื้อเดียวกันของแผ่นฟิล์มเล็กน้อย

5.1.3 คุณสมบัติการละลายของฟิล์มผสมจะเพิ่มขึ้น เมื่ออัตราส่วนของเชริซินเพิ่มขึ้น

5.1.4 โครงรูปของฟิล์มผสมที่เตรียมได้มีลักษณะเด่นเป็นแบบเกลียวสุ่ม (Random coil) ซึ่งเป็น โครงรูปที่สามารถละลายน้ำได้

5.1.5 ความเสถียรต่อความร้อนของฟิล์มเพิ่มขึ้นเมื่ออัตราส่วนของไหมเชริซินเพิ่มขึ้น

5.1.6 พฤติกรรมการปลดปล่อยยาของฟิล์มผสมพบว่าขึ้นอยู่กับอัตราส่วนของไหมเชริซิน เมื่ออัตราส่วนของไหมเชริซินเพิ่มขึ้น โมเลกุลของยาจะปลดปล่อยออกมาได้เร็วขึ้น

5.2 อภิปรายผลการทดลอง

5.2.1 ลักษณะพื้นฐาน

จากการศึกษาอิทธิพลอัตราส่วนของไหมเชริซินที่มีผลต่อรูปร่างลักษณะพื้นฐานของฟิล์มผสมระหว่างไคโตซานกับไหมเชริซินที่เตรียมได้ พบว่าฟิล์มผสมที่เตรียมได้มีลักษณะพื้นผิวที่เรียบและมีลักษณะพื้นผิวขรุขระเล็กน้อยเมื่ออัตราส่วนของไหมเชริซินเพิ่มขึ้น เนื่องจากอัตราส่วนของไหมเชริซินที่เพิ่มขึ้นส่งผลให้สารละลายผสมระหว่างไคโตซานกับไหมเชริซินมีความหนืดลดลง เนื่องจากสารละลายไหมเชริซินเป็นสารละลายที่มีความหนืดน้อยกว่าสารละลายไคโตซาน ดังนั้นจึงส่งผลให้การแพร่ของตัวทำละลายแพร่ได้เร็วขึ้นจึงทำให้ฟิล์มผสมที่ได้มีลักษณะพื้นผิวขรุขระเพิ่มขึ้นเล็กน้อย

5.2.2 ความหนาโดยเฉลี่ย

ความหนาของฟิล์มผสมโดยเฉลี่ยที่เตรียมได้ วัดโดยใช้โปรแกรม View Smile Shop ของเครื่อง Electron Scanning Microscopy โดยวัดความหนาของฟิล์มผสมอย่างน้อย 12 จุด พบว่าความหนาของแผ่นฟิล์มผสมมีการกระจายตัวโดยเฉลี่ยที่ไม่แตกต่างกัน ทั้งนี้เนื่องจากฟิล์มผสมมีลักษณะของเนื้อฟิล์มที่เป็นเนื้อเดียวกัน ซึ่งสามารถอธิบายได้ว่าไคโตซานกับไหมเซรีซินสามารถเข้ากันได้

5.2.3 โครงรูป

การศึกษาโครงรูปของแผ่นฟิล์มผสมที่เตรียมได้ โดยวิเคราะห์จากสเปกตรัมของเครื่อง FT-IR แสดงพบว่าอัตราส่วนของไหมเซรีซินที่ผสมลงไปส่งผลต่อโครงรูปของฟิล์มผสม มีโครงรูปเป็นแบบเกลียวคู่ ทั้งนี้เนื่องจากไหมเซรีซินเป็นโปรตีนที่สามารถละลายน้ำได้ดี ดังนั้นจึงเห็นยวนำให้ฟิล์มผสมดังกล่าวมีโครงรูปเป็นแบบเกลียวคู่

5.2.4 การทดสอบการละลาย

จากการศึกษาคุณสมบัติการละลายพบว่า ฟิล์มผสมจะสามารถละลายน้ำได้ดีเมื่ออัตราส่วนของไหมเซรีซินเพิ่มขึ้น เนื่องจากไหมเซรีซินมีคุณสมบัติความชอบน้ำ (Hydrophobicity) โดยหมู่อะมิโนสายโซ่ของโปรตีนชนิดนี้สามารถเกิดพันธะกับน้ำได้ ทำให้โมเลกุลของน้ำสามารถแทรกเข้าไปสร้างพันธะไฮโดรเจนกับสายโซ่โปรตีนไหมเซรีซินได้ ซึ่งสอดคล้องกับผลการศึกษาโครงรูปของแผ่นฟิล์ม ที่มีลักษณะโครงรูปเป็นแบบเกลียวคู่

5.2.5 ความเสถียรต่อความร้อนของฟิล์มผสม

จากการศึกษาคุณสมบัติความเสถียรต่อความร้อนของฟิล์มผสมระหว่างไคโตซานและไหมเซรีซินพบว่า ความเสถียรต่อความร้อนของฟิล์มผสมจะเพิ่มขึ้น เมื่ออัตราส่วนของไหมเซรีซินเพิ่มขึ้น ทั้งนี้เนื่องจากโปรตีนไหมเซรีซิน เป็นโปรตีนที่สลายตัวด้วยความร้อนแล้วจะเหลือองค์ประกอบที่เป็นพวกเด้า ดังนั้นจึงทำให้น้ำหนักที่เหลือของฟิล์มผสมที่มีอัตราส่วนของไหมเซรีซินมีน้ำหนักที่เหลือจากการสลายตัวด้วยความร้อนมากกว่าฟิล์มของไคโตซาน

5.2.6 การทดสอบการปลดปล่อยยาแบบ อิน วิโทร

จากการศึกษาพฤติกรรมการปลดปล่อยยาพบว่า การปลดปล่อยยาหรือการแพร่ของโมเลกุลของยาจะขึ้นอยู่กับอัตราส่วนของไหมเซรีซิน กล่าวคือเมื่ออัตราส่วนของไหมเซรีซินเพิ่มมากขึ้นในฟิล์มผสม จะทำให้ฟิล์มผสมละลายได้เร็ว ดังนั้นโมเลกุลยาที่มีอยู่ในฟิล์มผสมจึงแพร่ออกมาเร็วด้วย ซึ่งมีความสัมพันธ์กับผลการศึกษาโครงรูปของฟิล์มผสม

5.3 ข้อเสนอแนะ

จากการศึกษาผลการทดลองข้างต้นทำให้ทราบถึงอิทธิพลของอัตราส่วนไหมเซรีซินที่มีผลต่อฟิล์มผสม เช่น ต่อลักษณะสีฐาน ความหนา การละลาย โครงรูป ความเสถียรต่อความร้อน และพฤติกรรมการปลดปล่อยยาของฟิล์มผสม จากข้อมูลดังกล่าวสามารถนำไปประยุกต์ใช้กับระบบนำส่งยาได้ ด้วยการปรับอัตราส่วนของไหมเซรีซิน

ในการวิจัยครั้งต่อไปอาจศึกษาอิทธิพลของการใช้สารเชื่อมขวาง โดยทำการเชื่อมขวางไคโตซานกับไหมเซรีซินก่อนทำการบรรจุยาตัวอย่าง ซึ่งสารเชื่อมขวางมีคุณสมบัติทำให้สารที่เกิดการเชื่อมขวางมีคุณสมบัติการละลายที่ลดลงได้ และศึกษาอิทธิพลของสารเชื่อมขวางที่ส่งผลการปลดปล่อยยาตัวอย่างต่อไป



มหาวิทยาลัยราชภัฏมหาสารคาม
RAJABHAT MAHASARAKHAM UNIVERSITY

บรรณานุกรม

- ชัชวัญ ทรัพย์มณี. สกัดโปรตีนจากรังไหมสู่ผงไหม. เกษตรกรรมธรรมชาติ 2550 (10) 5: 10-18.16.
- สุกิจ ปัญญาชัยเสนาะ, การเตรียมเตรียมฟิล์มผสมระหว่างไคโตซานและเมทิลเซลลูโลส. จุฬาลงกรณ์
ศิริรัตน์ จารุจินดา. ไหม: การลอกกาวไหมและการฟอกขาวไหม. คัลเลอร์เวย์ 2548 (10) 56:34-38.
- อรุณี คงดี. โปรตีนไหม/ซิริซิน วารสารแม่โจ้ปริทัศน์ 2548 (6) 1: 50-54.
- เออีอีชี คาวาอิ และ เข็มชัย เหมะจันทร์. วิทยาการไหมเล่ม 1. 2530.
- C. -S. Chen, W. Liao, G. -J. Tsai, J. Food Protect, 1998, 61, 1124-1128.
- Ghaouth, J. Arul, R. Ponnampalam, M. Boulet, J. Food Sci., 1991, 56, 1618-1620.
- H. Kweon, H.C. Ha, I.C. Um and Y.H. Park, J. Appl. Polym. Sci., 2001, 80, 928-934.
- M. Pereda, G. Amica, E. Norma and Marcovich, Carbo. Polym., 2012, 1318-1325
- Quattarz, R.E. Simard, G. Piette, A. Begin, R. A. Holley, Int. J. Food Microbiol., 2000, 62, 139-148.
- P.C. Srinivasa, R. Baskaram, M.N. Ramesh et. al., Eur. Food Res. Technol., 2002, 215, 504-508.
- R. M. Robson, Handbook of fibre chemistry. Marcel Dekker. INC, NewYotk. 1998.
- S.J. Park, K.Y. Lee, W.S. Soo and Y. Park, J. Appl. Polym. Sci., 1997, 74, 2571-2575.
- S. Piriyaarasarth, J. Nunthanid, W. Daronkaisorn, S. Sae-iao, S. Yuttawat, S. Santithanes, S.
Tangsombutpaiboon, P. Sriamornsak and P. Opanasopit, Proceeding in 30th Congress on Science and
Technology of Thailand, 19 – 21 October 2004, Bangkok, Thailand.
- S. Senel, G. Ikinici, S. Kas, A. Yousefi-Rad, M.F. Sargon and A.A. Hincal, Int. J. Pharm., 2000, 193, 197-
203.
- S.W. Haya-areekul, C. Prahsarn, Int. J. Pharm., 2006, 313, 123-128.
- U. Edlund, A. -C. Albertsson, Polym. Sci., A.-C. Albertsson, Ed.; Springer: Berlin, 157, 2002, 72.
- X. Chen, W. Li and T. Yu (1997) J. Polym. Sci. Part B: Polym. Phys., 1997, 35, 2293-2296.
- Y. -J. Jeon, J. Y. V. A. Kamil, F. Shahidi, J. Agric. Food Chem., 2002, 50, 5167-5178.

ประวัติผู้วิจัย

ชื่อ นายรณนชาติ อิ่มสมบัติ
ตำแหน่ง อาจารย์
หน่วยงานที่สังกัด สาขาวิชาเคมี คณะวิทยาศาสตร์และเทคโนโลยี
มหาวิทยาลัยราชภัฏมหาสารคาม
ที่อยู่ปัจจุบัน 80/9 ถนนนครสวรรค์ ตำบลตลาด อำเภอเมือง จังหวัดมหาสารคาม

ประวัติการศึกษา

- กำลังศึกษาต่อ ปรัชญาคุณวุฒิบัณฑิต (ปร.ค.) สาขา เคมี มหาวิทยาลัยมหาสารคาม
- ปริญญาวิทยาศาสตรมหาบัณฑิต (วท.ม.) สาขา เคมี มหาวิทยาลัยมหาสารคาม 2554
- ปริญญาวิทยาศาสตรบัณฑิต (วท.บ.) สาขา เคมี มหาวิทยาลัยมหาสารคาม 2545

ผลงานวิชาการ

- **Imsombut, T.,** Srisa-ard, M., Srihanam, P.& Baimark, Y. (2011). Preparation of silk fibroin microspheres by emulsification-diffusion method for controlled release drug delivery applications. E-polymer 088, 1618-7229.

- **Imsombut, T.,** Srisuwan, Y., Srihanam, P. & Baimark, Y. (2010). Genipin cross-linked silk fibroin microspheres prepared by simple water-in-oil emulsion solvent diffusion method. Powder Technology 203, 603-608.

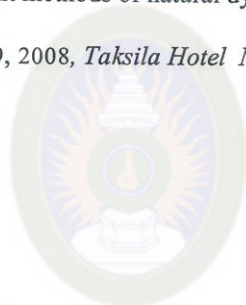
- Srihanam, P., Srisuwan, Y., **Imsombut T.** & Baimark, Y. (2010). Silk fibroin microspheres prepared by the water-in-oil emulsion solvent diffusion method for protein delivery. Korean J. Chem. Eng 10.1007, 0322-0324.

- **Imsombut, T.** and Baimark, Y. Preparation of silk fibroin microparticles by emulsification-diffusion method for drug delivery. Pure and Applied Chemistry International Conference 2010, January 21-23, 2010, Sunee Grand Hotel and Convention Center Ubon Ratchathani, Thailand. P. 679.

- Khotawong, S., **Imsombut, and T.** Butiman, J. Comparison of silk yarn appearance after dyeing with fresh and powder natural dyes. Mahasarakham conference 2010, 6 th, August 26-28, 2010, Taksila Hotel Mahasarakham, Thailand. P. 152.

- Khotawong, S., **Imsombut, T.** and Butiman, J. Extraction of natural dye powder of silk yarn dying. *International Conference* 2009, September 21-22, 2009 faculty of Agriculture Kasetsat University, Bangkok Thailand.

-Khotawong, S., **Imsombut, T.** and Butiman, J. Morphological characteristic of dyeing and chemical structure of silk yarn, with different methods of natural dyed. International workshop on sericulture and weaving silk. August 28-29, 2008, *Taksila Hotel Mahasarakham*, Thailand. P. 43.



มหาวิทยาลัยราชภัฏมหาสารคาม
RAJABHAT MAHASARAKHAM UNIVERSITY

ชื่อ นางสาวปนัดดา แทนสุโพธิ์
ตำแหน่ง อาจารย์
หน่วยงานที่สังกัด โปรแกรมวิชาเคมี คณะวิทยาศาสตร์และเทคโนโลยี
มหาวิทยาลัยราชภัฏมหาสารคาม
ที่อยู่ปัจจุบัน 80/9 ถนนนครสวรรค์ ตำบลตลาด อำเภอเมือง จังหวัดมหาสารคาม

ประวัติการศึกษา

ปริญญาเอก วท.ค. (เคมี) มหาวิทยาลัยขอนแก่น
ปริญญาโท วท.ม. (เคมีวิเคราะห์) มหาวิทยาลัยขอนแก่น
ปริญญาตรี วท.บ. (เคมี) มหาวิทยาลัยขอนแก่น

ผลงานทางวิชาการ

- Panadda Tansupo, Herbert Budzikiewicz, Saksit Chanthai and Chalerm Ruangviriyachai.
Effect of pyoverdin I produced by *Pseudomonas aeruginosa* on the mobilization of copper (II) and iron (III) contaminated in natural soil and sea sand samples. *International Journal of Pure & Applied Chemistry*. 2007, 93-98.

- Panadda Tansupo, Herbert Budzikiewicz, Saksit Chanthai and Chalerm Ruangviriyachai.
Effect of environmental conditions on the mobilization of copper (II) and iron (III) by pyoverdin I in artificial contaminated soils. *ScienceAsia*, 2008, 34: 287-292.

-Panadda Tansupo, Worakarn Chamongkolpradit, Saksit Chanthai and Chalerm Ruangviriyachai.
Removal of heavy metals from artificially waste water samples based on micelle- templated silica modified with pyoverdin I. *Journal of Environmental Sciences*.
2009, 21: 1009-1016.

- Panadda Tansupo, Pirom Suwannasom, Devanand L. Luthria, Saksit Chanthai and Chalerm Ruangviriyachai. Optimized separation procedures for the simultaneous assay of three plant hormones in liquid biofertilizers. *Phytochemical Analysis*, 2010, Mar; 21: 157-162.

-ปนัดดา แทนสุโพธิ์ ออนวดี สันปะภา สุขสันต์ ไตยันโท ภิรมย์ สุวรรณสม และ เฉลิม เรื่อง วิเคราะห์ การหาปริมาณของออกซินในน้ำหมักชีวภาพอย่างง่าย โดยใช้เทคนิคสเปกโตรโฟโตเมทรี บรรยาย ในการประชุมวิชาการเครือข่ายการวิจัยสถาบันอุดมศึกษา ปี 2551 “เทคโนโลยีสู่ชุมชนเพื่อการพัฒนาที่ยั่งยืน” วันที่ 17-19 มกราคม 2551 ขอนแก่น.

-Tansupo, P., Suwannasom, P., Chanthai, S. and Ruangviriyachai, C. Simultaneous determination of auxin, gibberellic acid abscisic acid in liquid biofertilizers using SPE and RP-HPLC. Oral presentation at the 9th National Graduate Research Conference; March 14-15, 2008; Burapha University, Bangsaen, Chonburi, Thailand, p. 55.

-Panadda Tansupo, Manop Sriutha, Saksit Chanthai and Chalerm Ruangviriyachai. The application of siderophore for remediation of some heavy metals. Poster presentation at 31st Congress on Science and Technology of Thailand. October 18-20, 2006 Technopolis, Suranaree University of Technology, Nakhon Ratchasima.

-Panadda Tansupo, Pirom Suwannasom, Saksit Chanthai and Chalerm Ruangviriyachai. Analysis of plant hormones in bioextract sample using HPLC. Poster presentation at PERCH Congress IV. May 6-9, 2007, Jomtien Plam Beach Resort, Pattaya, Chonburi, Thailand.

-เฉลิม เรื่องวิเคราะห์ ภิรมย์ สุวรรณสม และ ปนัดดา แทนสุโพธิ์ น้ำหมักชีวภาพกับการพัฒนาอุตสาหกรรมเกษตร การประชุมวิชาการ สำนักงานพัฒนาวิทยาศาสตร์และเทคโนโลยีแห่งชาติ ประจำปี 2550 (NAC 2007) วันที่ 28-30 มีนาคม 2550 กรุงเทพมหานคร.

ประวัติผู้วิจัย

ชื่อ นางสาวครรชนีย์ พลหาญ
ตำแหน่ง อาจารย์
หน่วยงานที่สังกัด สาขาวิชาเคมี คณะวิทยาศาสตร์และเทคโนโลยี
มหาวิทยาลัยราชภัฏมหาสารคาม

ที่อยู่ปัจจุบัน 80/9 ถนนนครสวรรค์ ตำบลตลาด อำเภอเมือง จังหวัดมหาสารคาม

ประวัติการศึกษา

- กำลังศึกษาต่อ ปรัชญาคุณภูมิบัณฑิต (ปร.ค.) สาขา เคมี มหาวิทยาลัยมหาสารคาม
- ปริญญาวิทยาศาสตรมหาบัณฑิต (วท.ม.) สาขา วิทยาศาสตร์และเทคโนโลยีพอลิเมอร์
มหาวิทยาลัยมหิดล 2552
- ปริญญาวิทยาศาสตรบัณฑิต (วท.บ.) สาขา เคมี มหาวิทยาลัยเทคโนโลยีพระจอมเกล้าธนบุรี 2550

ผลงานทางวิชาการ

- การศึกษาการสังเคราะห์กรดอะดิปิก ด้วยวิธีเคมีสีเขียว
- การปรับปรุงคุณภาพของน้ำยาอูดัลรยนต์ที่ผลิตจากน้ำยางธรรมชาติ เพื่อนำไปใช้ในสภาพ
อุณหภูมิต่ำ

2nd International Conference on Global Trends in Pure and Applied Chemical Sciences

3-4 October 2014 Hong Kong
Organized by: ASIAN JOURNAL OF CHEMISTRY

ACCEPTANCE LETTER

Dated: 13 May 2014

To
Dr. Thanonchat Insombut
Department of Chemistry
Faculty of Science and Technology
Rajabhat Maharakham University
Maharakham, 44000
Thailand

Dear Prof./Dr. Thanonchat Insombut

Thanks for your interest in International Conference on Global Trends in Pure & Applied Chemical Sciences (ICGTCS-2014). I am pleased to inform you that your abstract No. **AB-154** entitled **“Preparation and Characterization of Chitosan/Silk Sericin Blend Films for Use as Drug Delivery System”** has been accepted for POSTER presentation in ICGTCS-2014.

You are requested to send the filled up registration and passport form and remit the fees for attending the conference. Kindly check the registration amount on the website.

Indians Payments can be made in the following two manners:

1. By paypal directly paid to asianicgtcs2014@gmail.com through credit card.
2. Directly to the account please note the following details:
Account Name : Asian Journal of Chemistry
Account No. : 50200005047863
Swift Code : HDFCINBBXXX
Name of Bank & Address : HDFC Bank, Plot No. 83, Sector-5, Rajendra Nagar, Sahibabad-201005, India
Quoting purpose of fund : ICGTCS-2014 Registration Fees
RTGS/NEFT/IFSC : HDFC0001266
Branch code : 1266
3. Online Registration system on the website through credit card.

No full-length articles will be considered for the publication in a special issue, unless at least one of the authors for each abstract makes his official registration and pays either by cheque/demand draft or through banks transfer the registration fees. The deadline for the payment and registration is 30 May 2014.

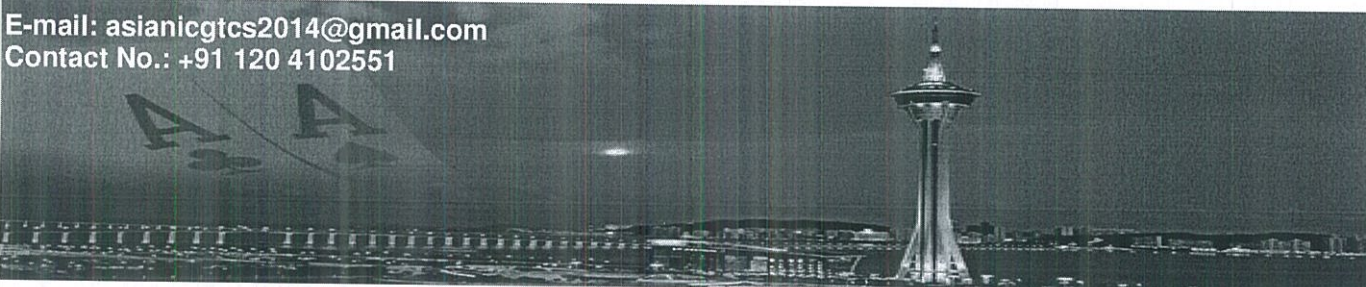
Your early cooperation will be highly solicited.

Kindest regards



Mrs. Anjul Agarwal
Secretary
ICGTCS-2014

E-mail: asianicgtcs2014@gmail.com
Contact No.: +91 120 4102551



2nd International Conference on Global Trends in Pure and Applied Chemical Sciences

3-4 October 2014 Hong Kong
Organized by: ASIAN JOURNAL OF CHEMISTRY

ACCEPTANCE LETTER

INFORMATION ABOUT PRESENTATION

a) Oral Presentation:

1. Each oral presentation will be of total of 10 minutes duration, about 8 minutes for presentation and 2 minutes for discussion.
3. Please ensure that font size and drawings are such that these can be legible by the audience even at the end of room 10-12 meters long.

b) Poster Presentation:

1. An area of about 1 M × 1 M would be available for poster display. The area is adequate for display of 12 A4 sheets.
2. Use minimum font size 14 so that the poster can be read from a distance of about 1 M.
3. First sheet must contain the following information presented in a clear manner:
 - * Title
 - * Authors with the Presenting author name underlined.
 - * Affiliation and address.



มหาวิทยาลัยราชภัฏมหาสารคาม
RAJABHAT MAHASARAKHAM UNIVERSITY

E-mail: asianicgtcs2014@gmail.com
Contact No.: +91 120 4102551

